

FIG. 1

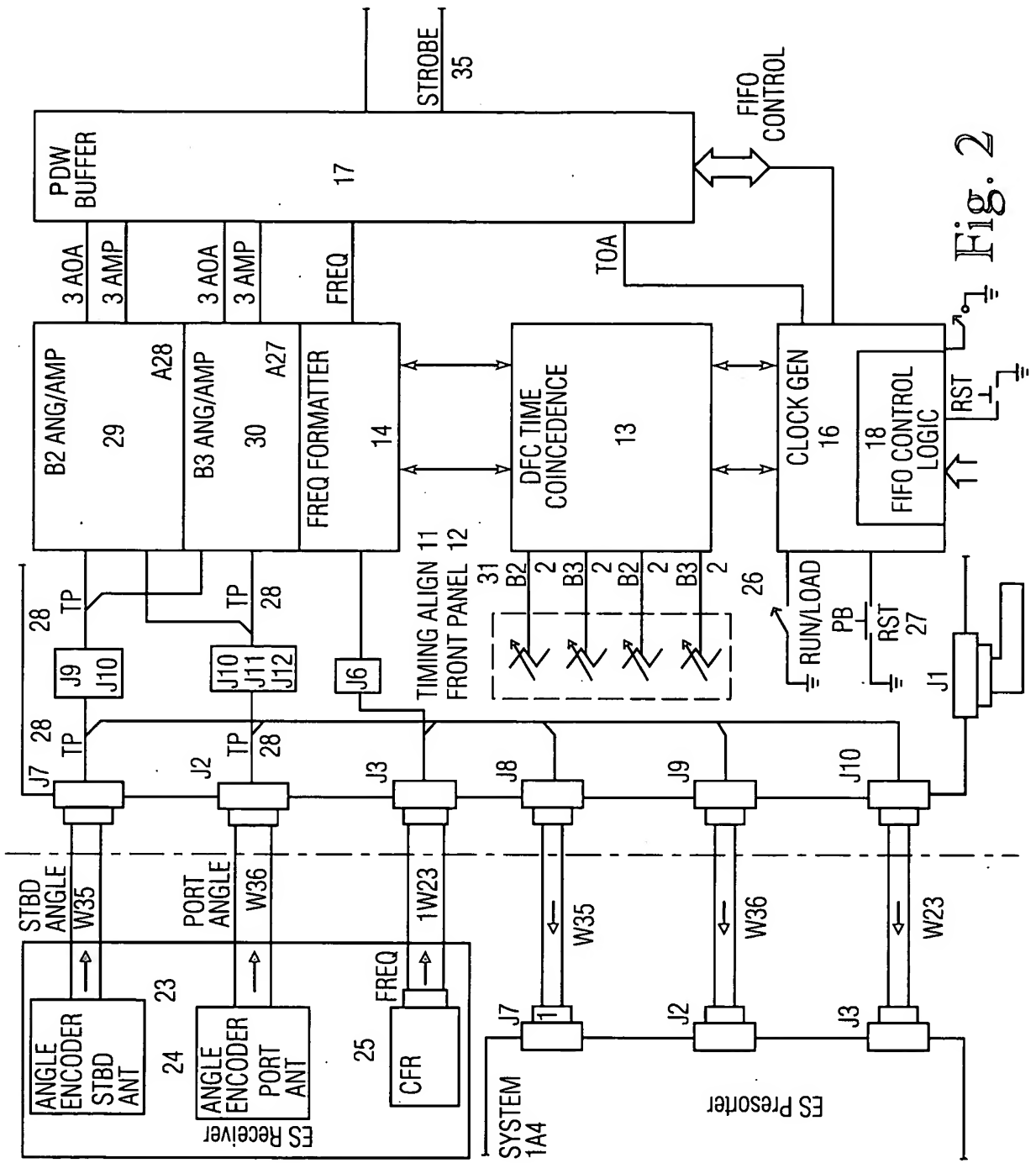


Fig. 2

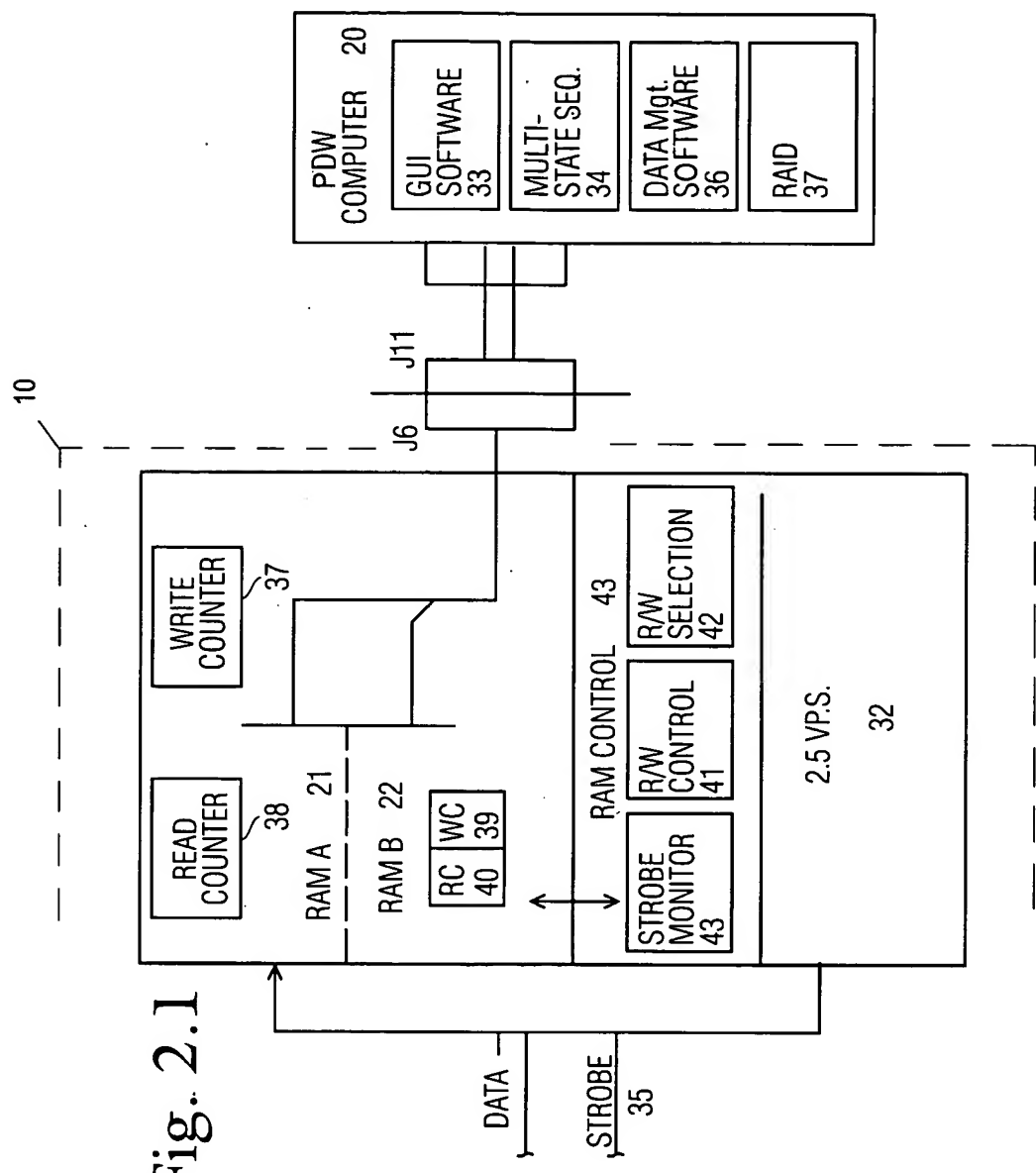


Fig. 2.1

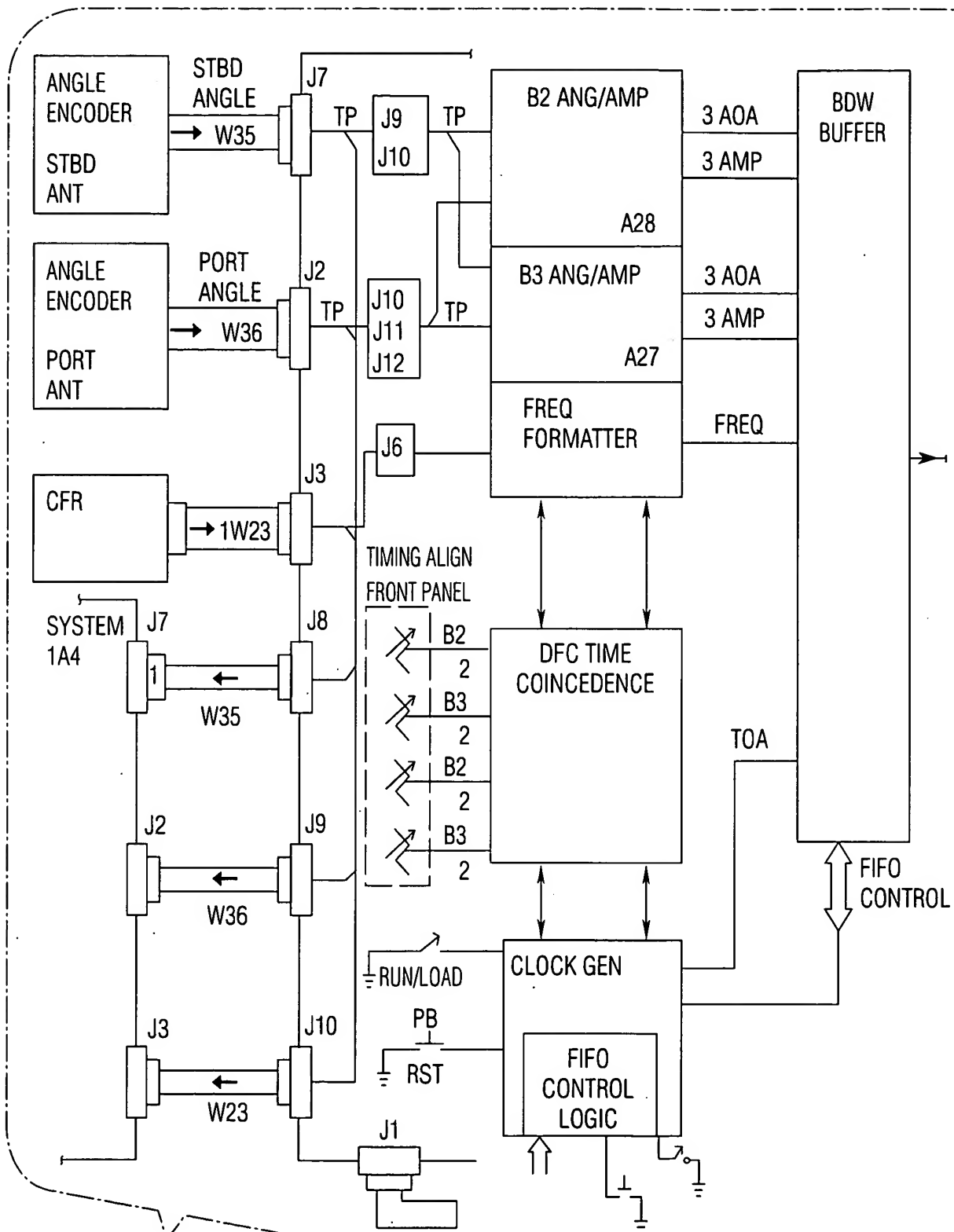


Fig. 3

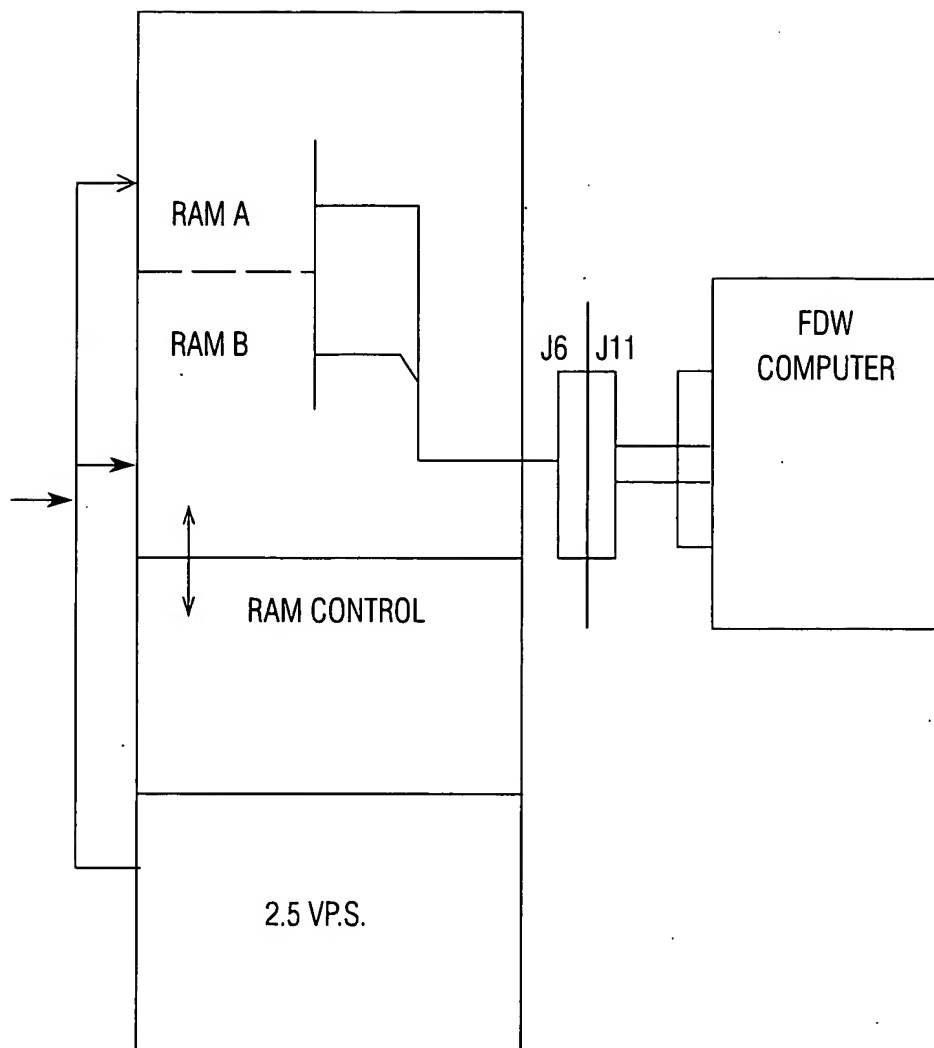
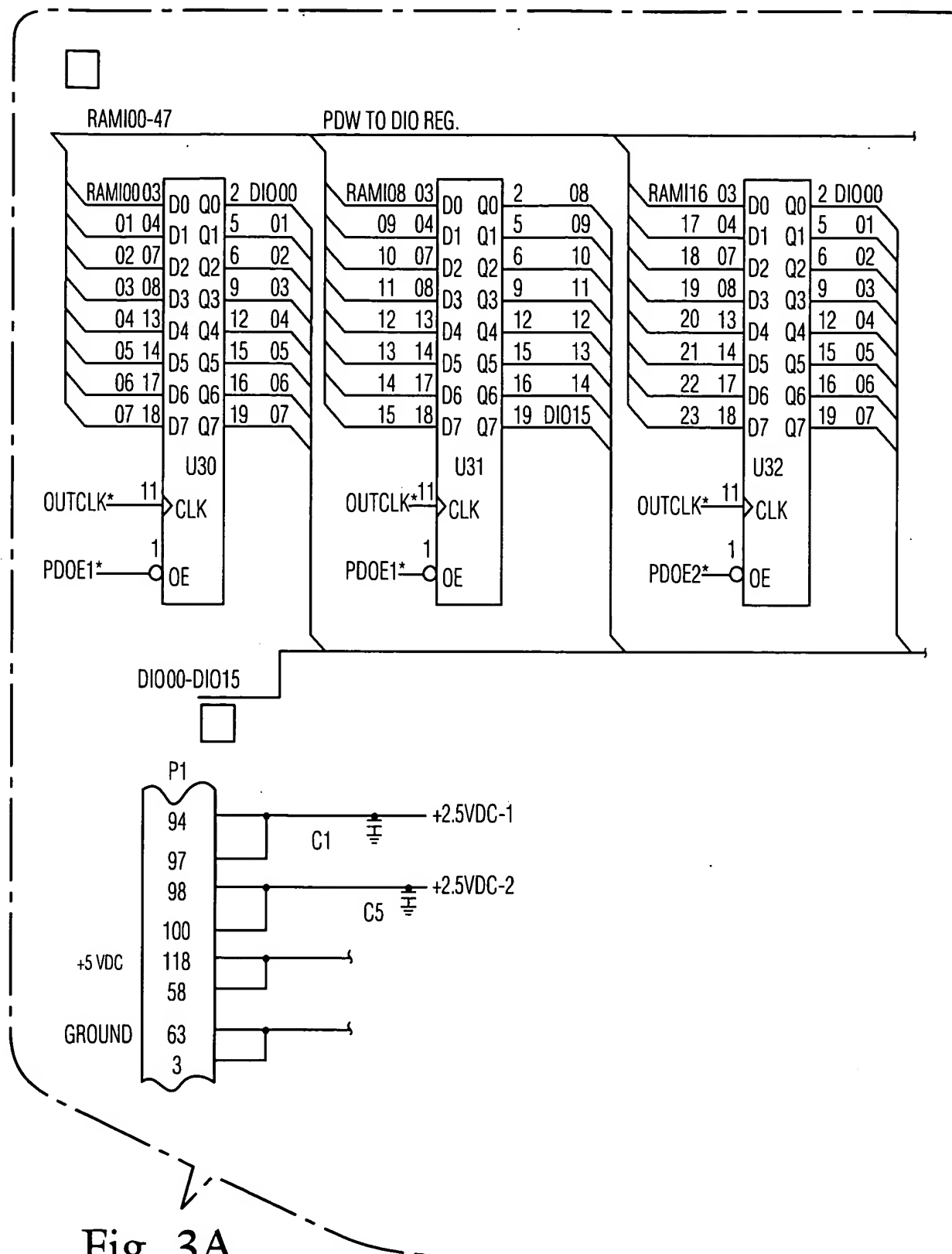


Fig. 3.1



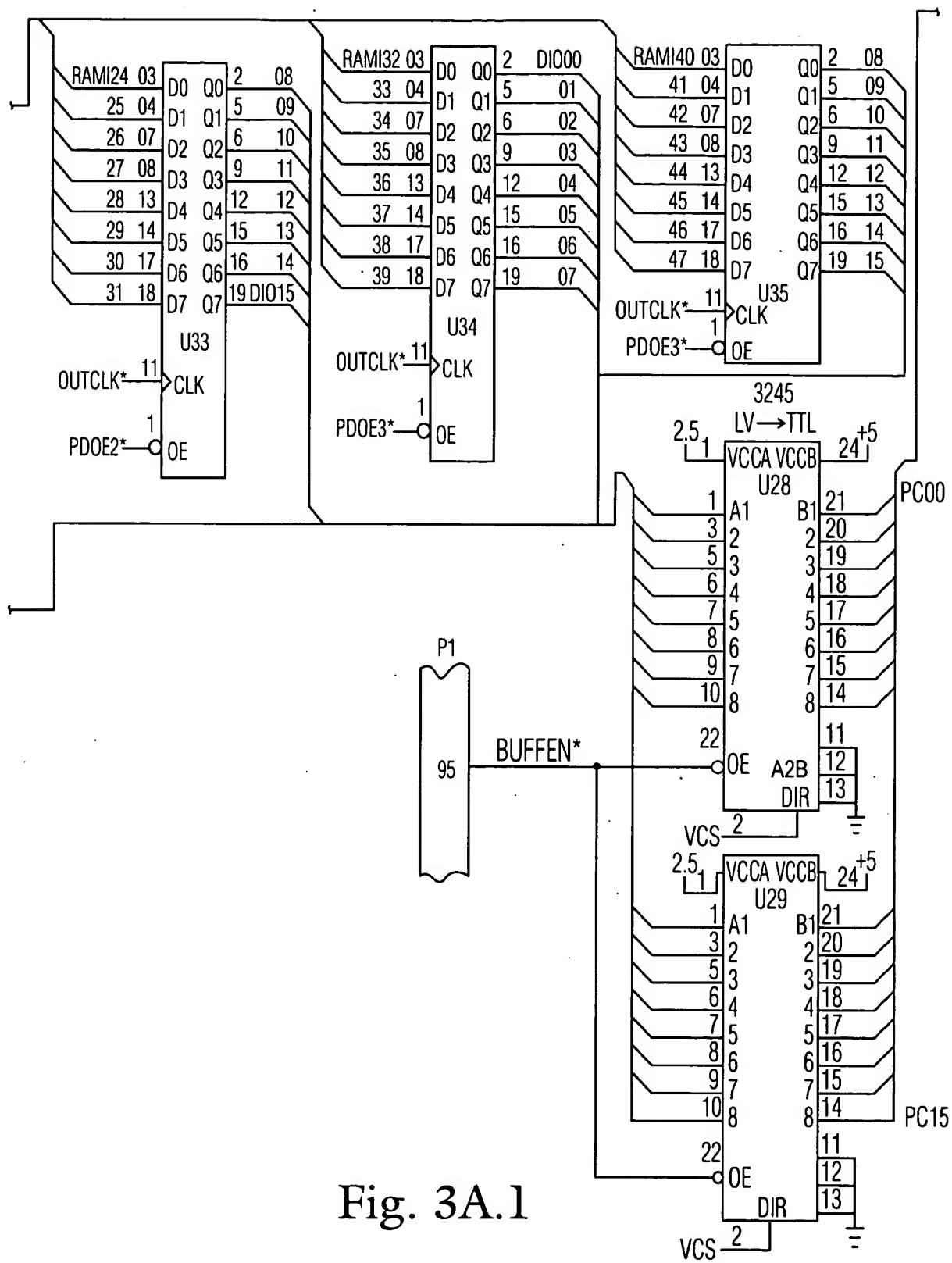


Fig. 3A.1

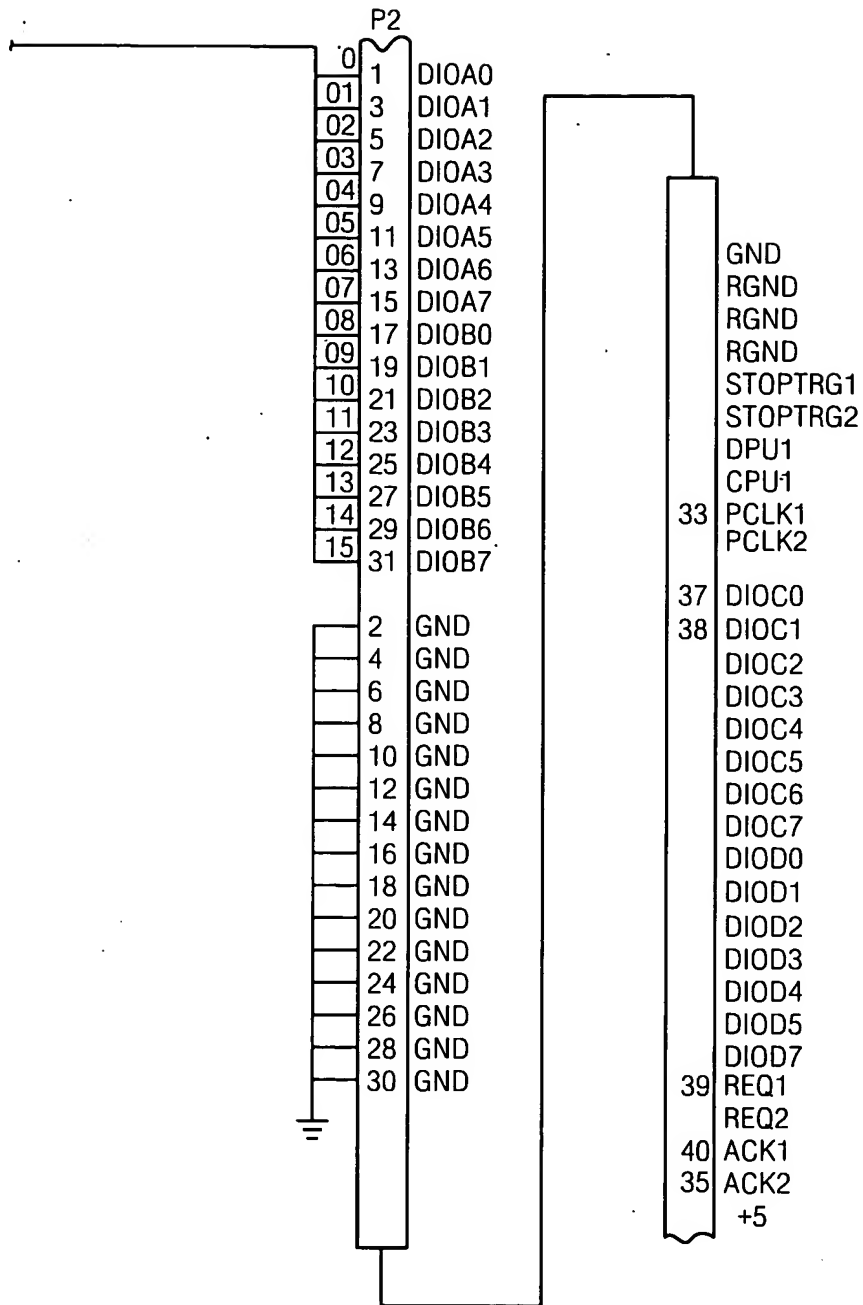


Fig. 3A.2



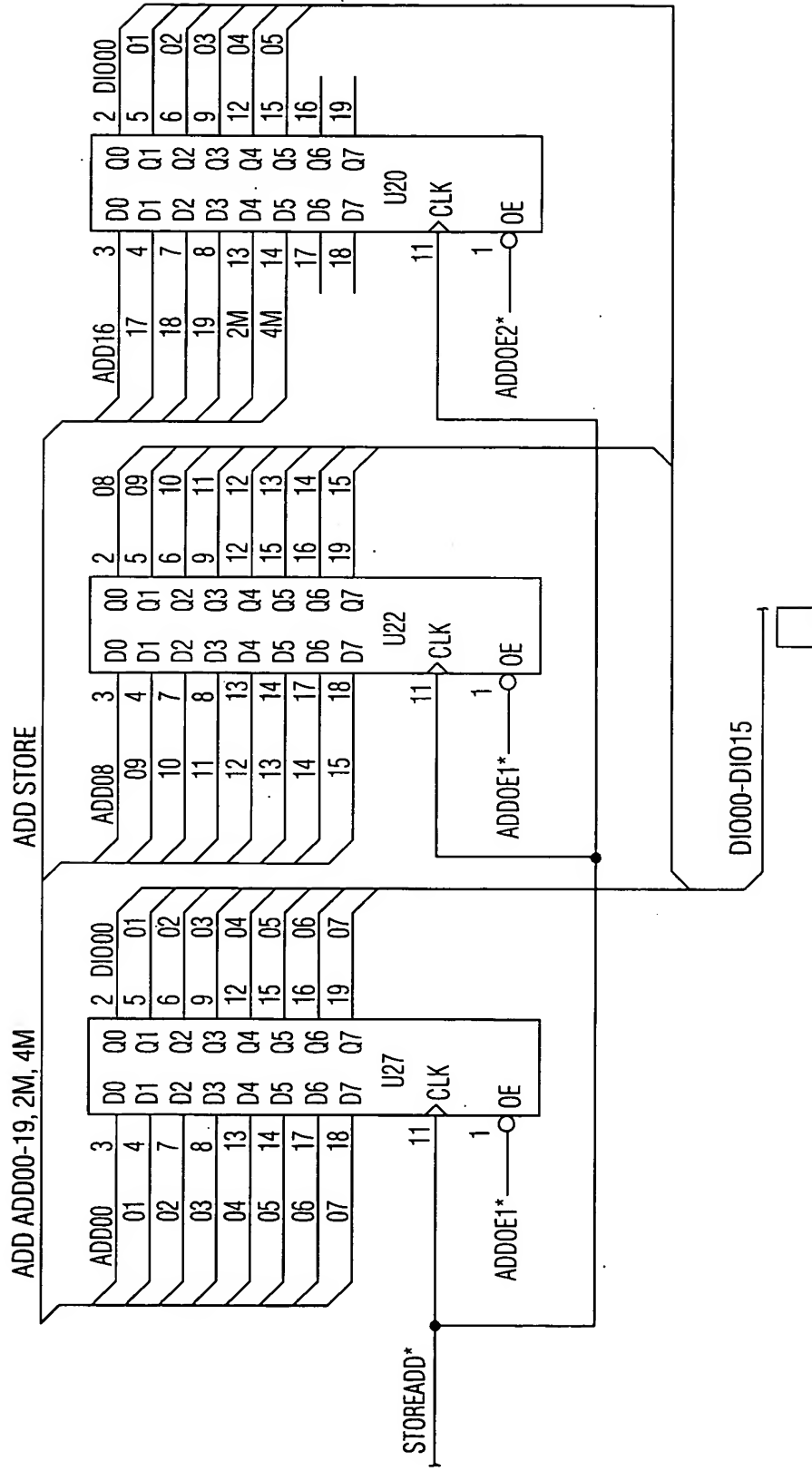


Fig. 3B

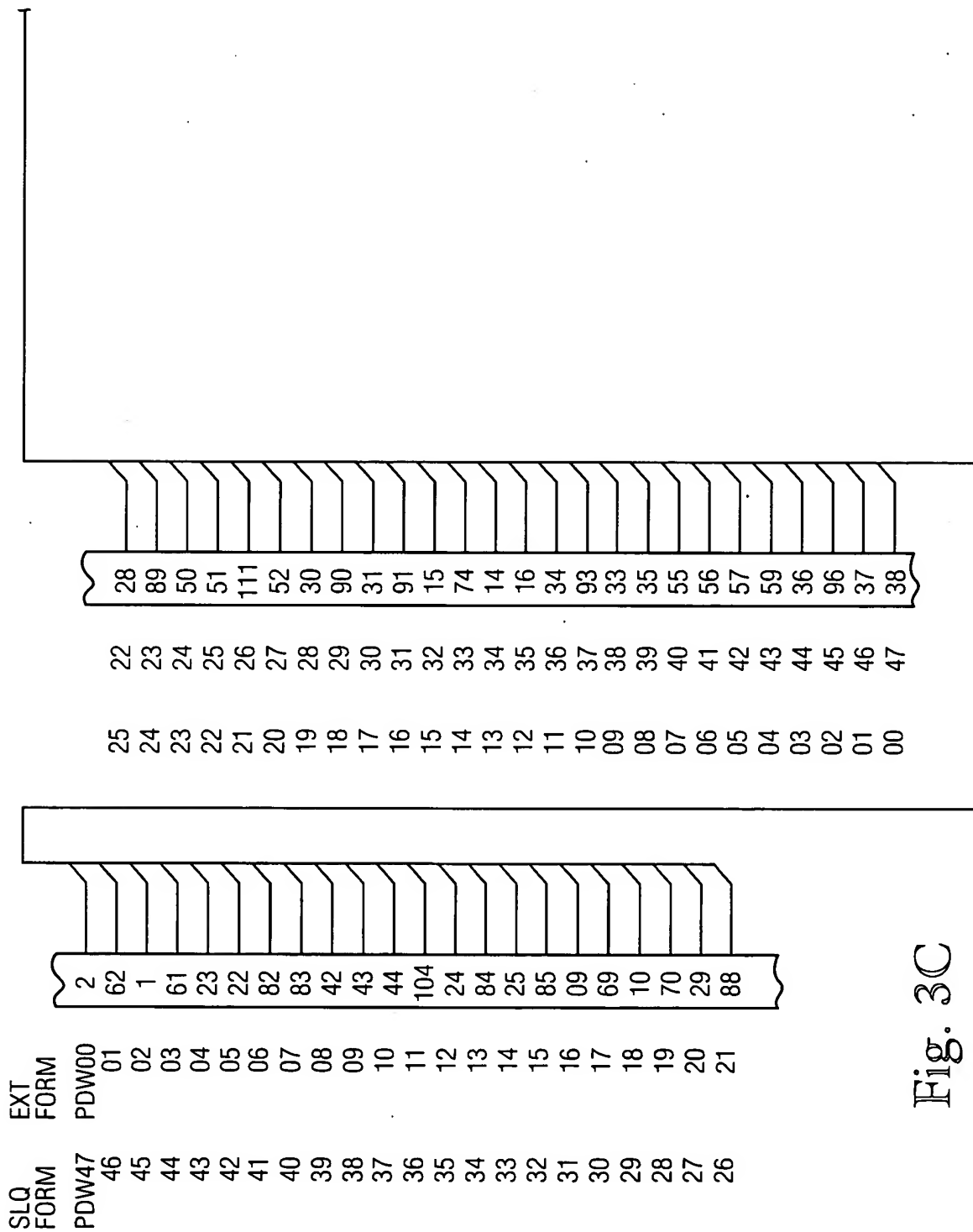


Fig. 3C

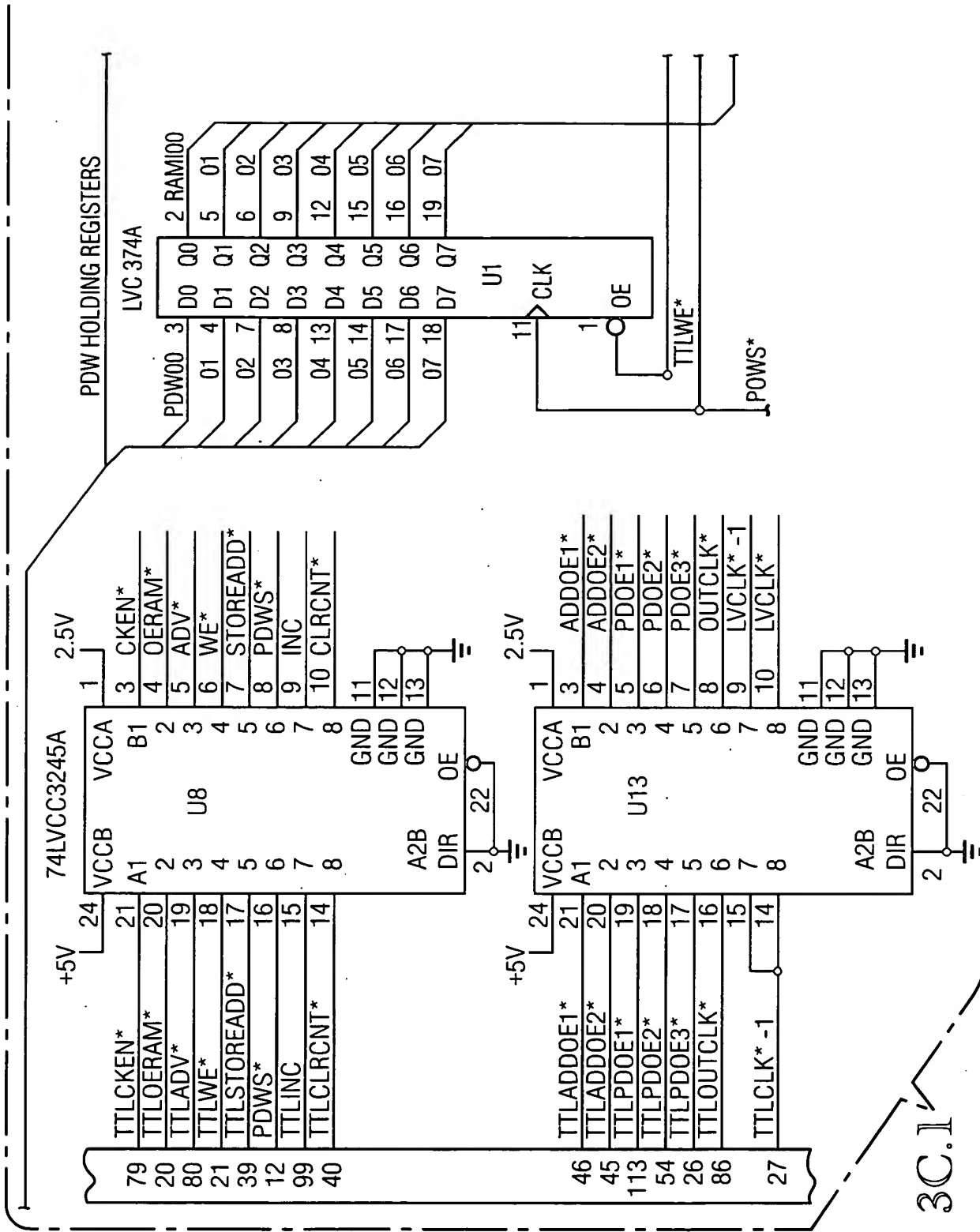


Fig. 3C.1

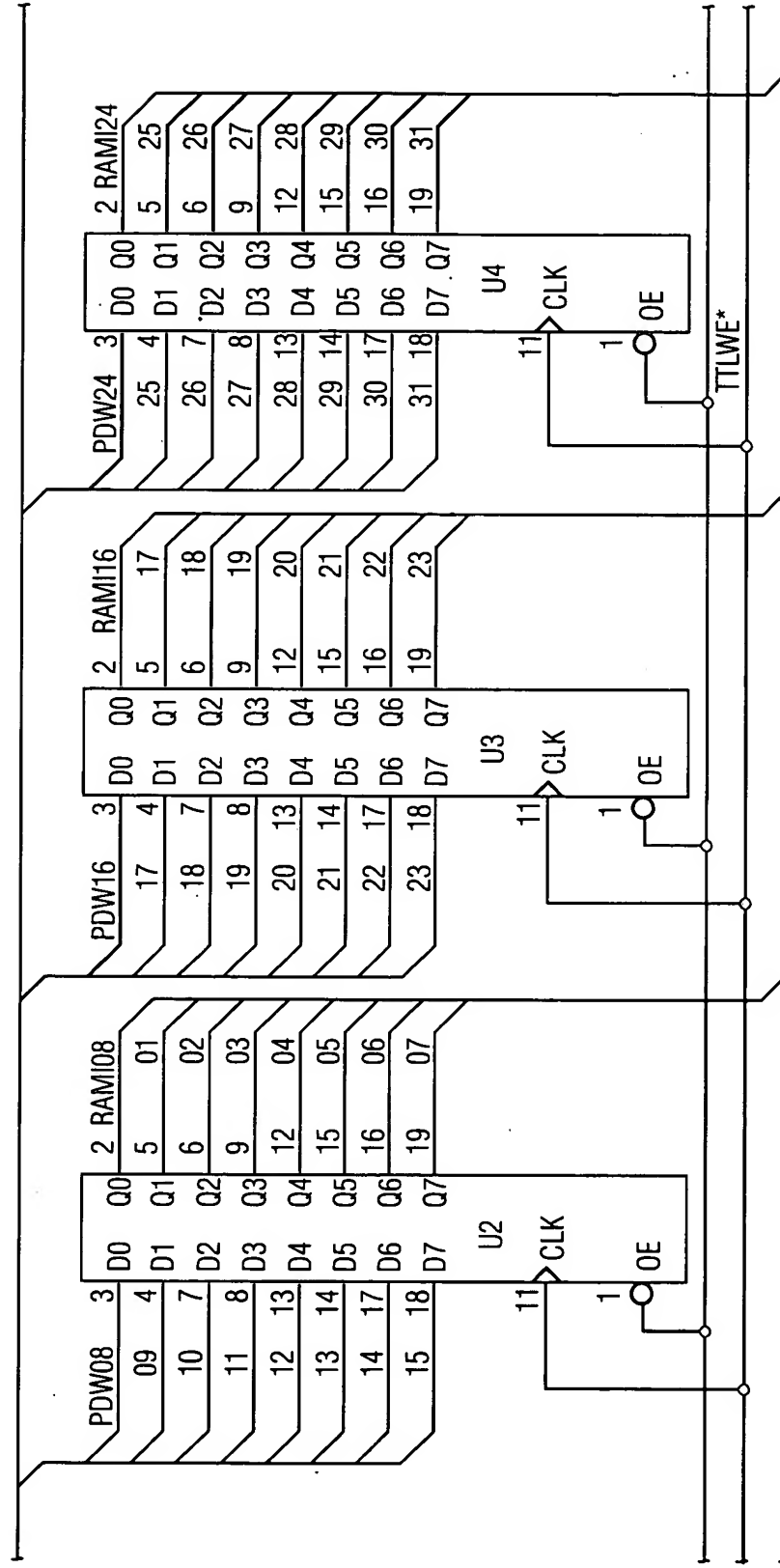


Fig. 3C.2

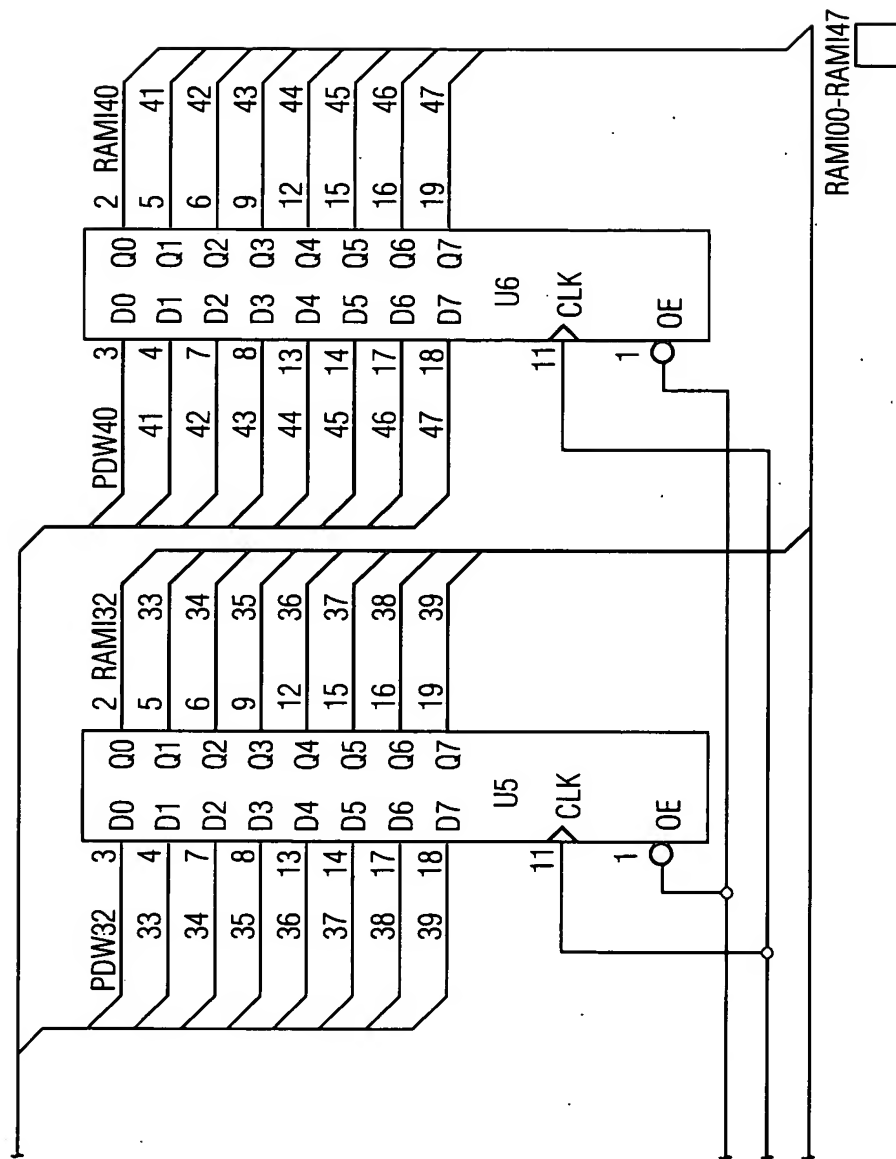


Fig. 3C.3

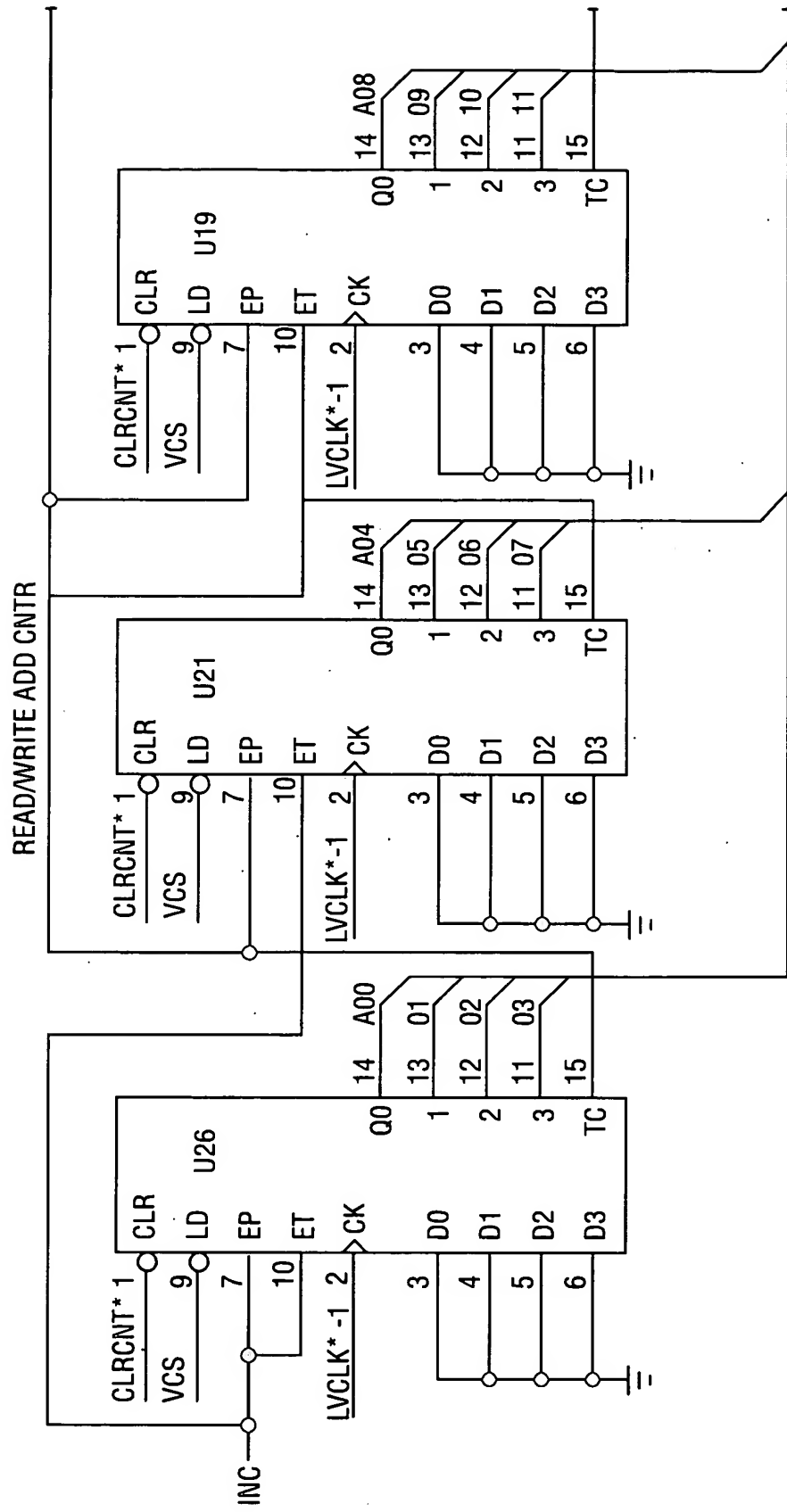


Fig. 3D

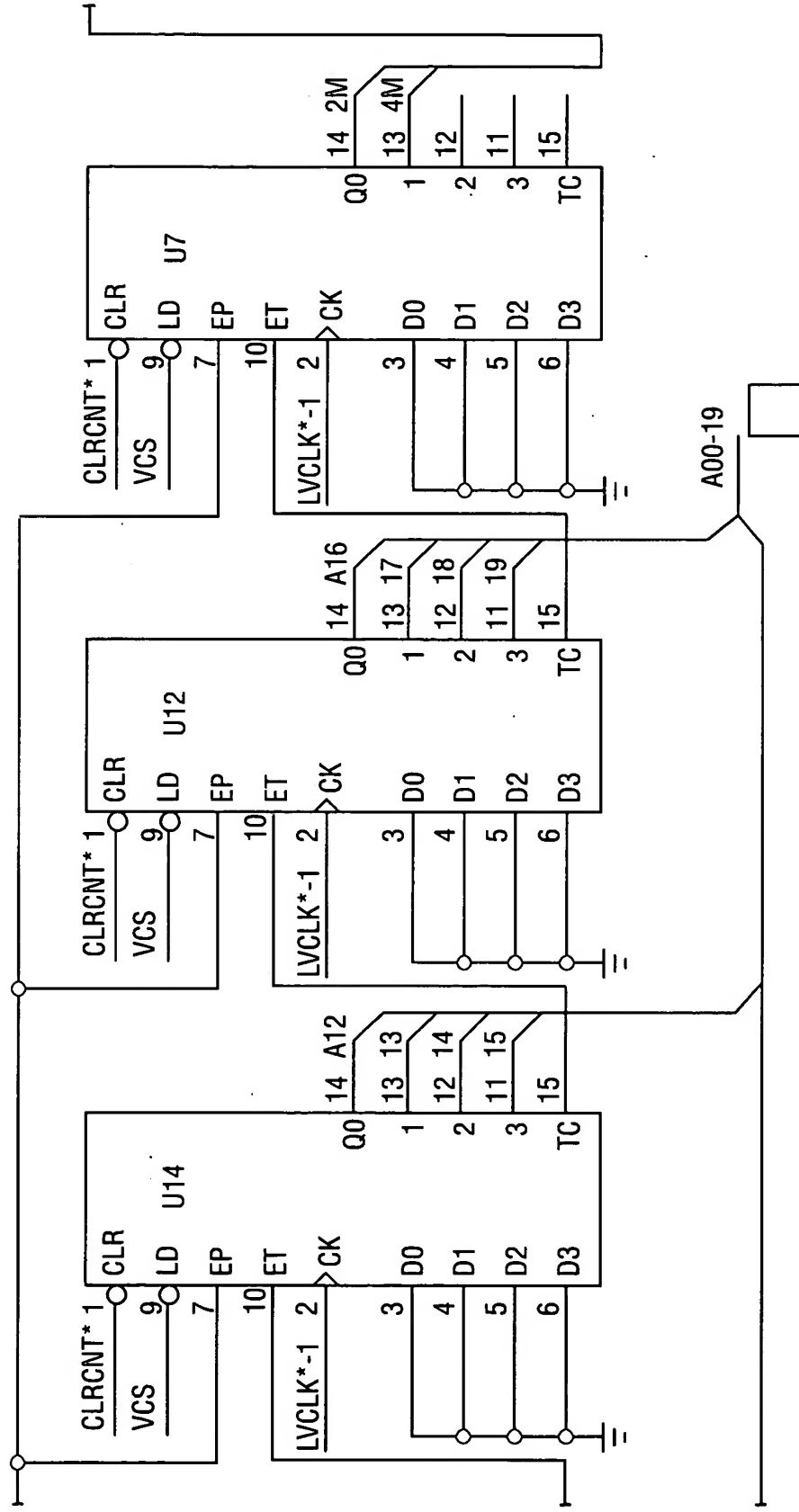


Fig. 3D.1

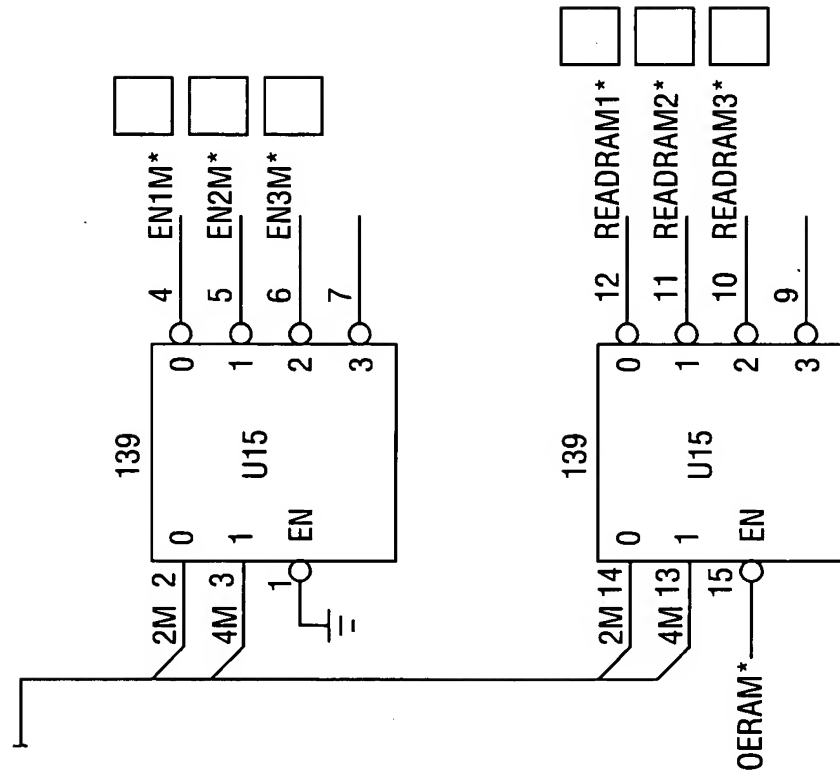


Fig. 3D.2



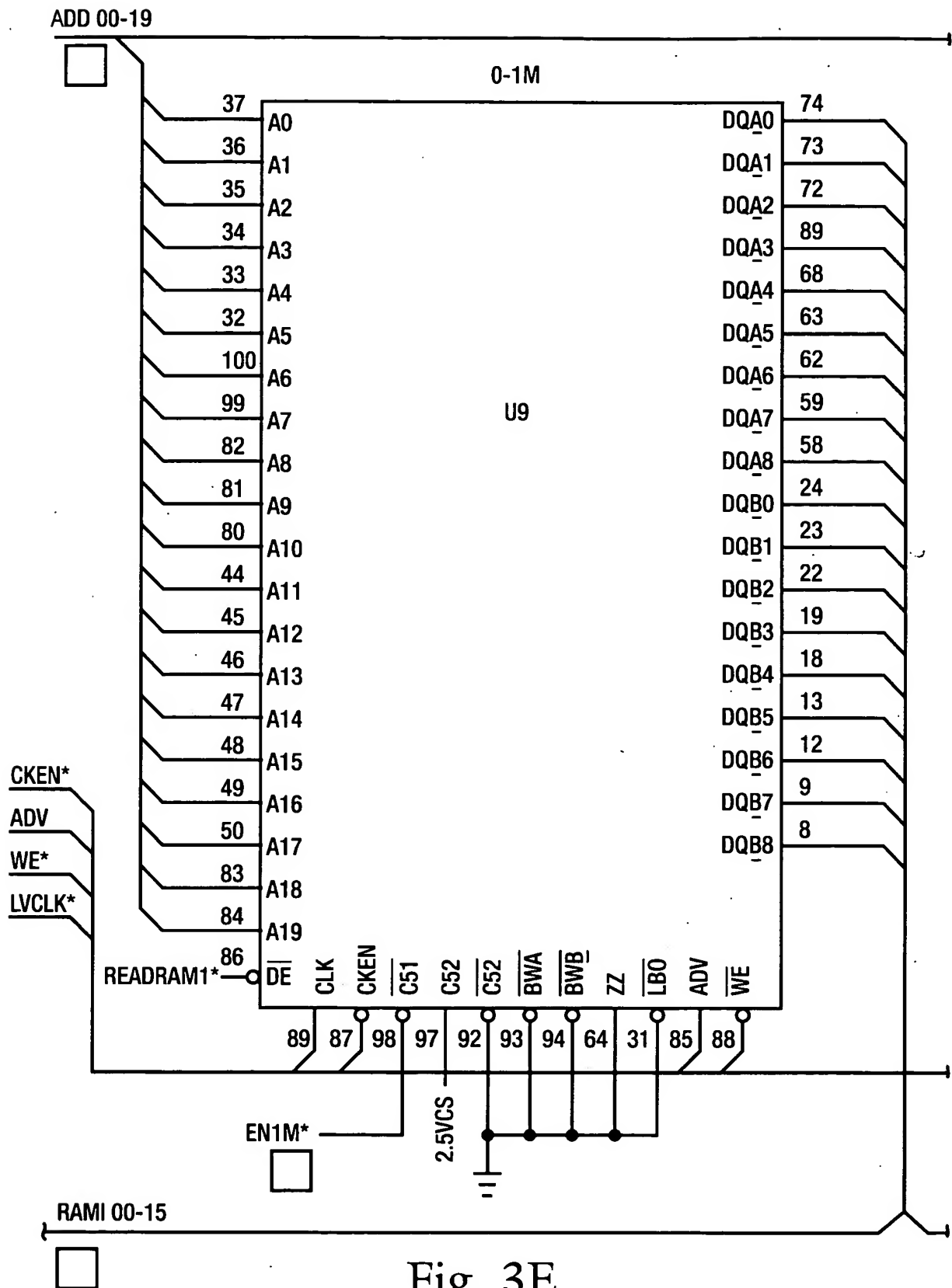


Fig. 3E

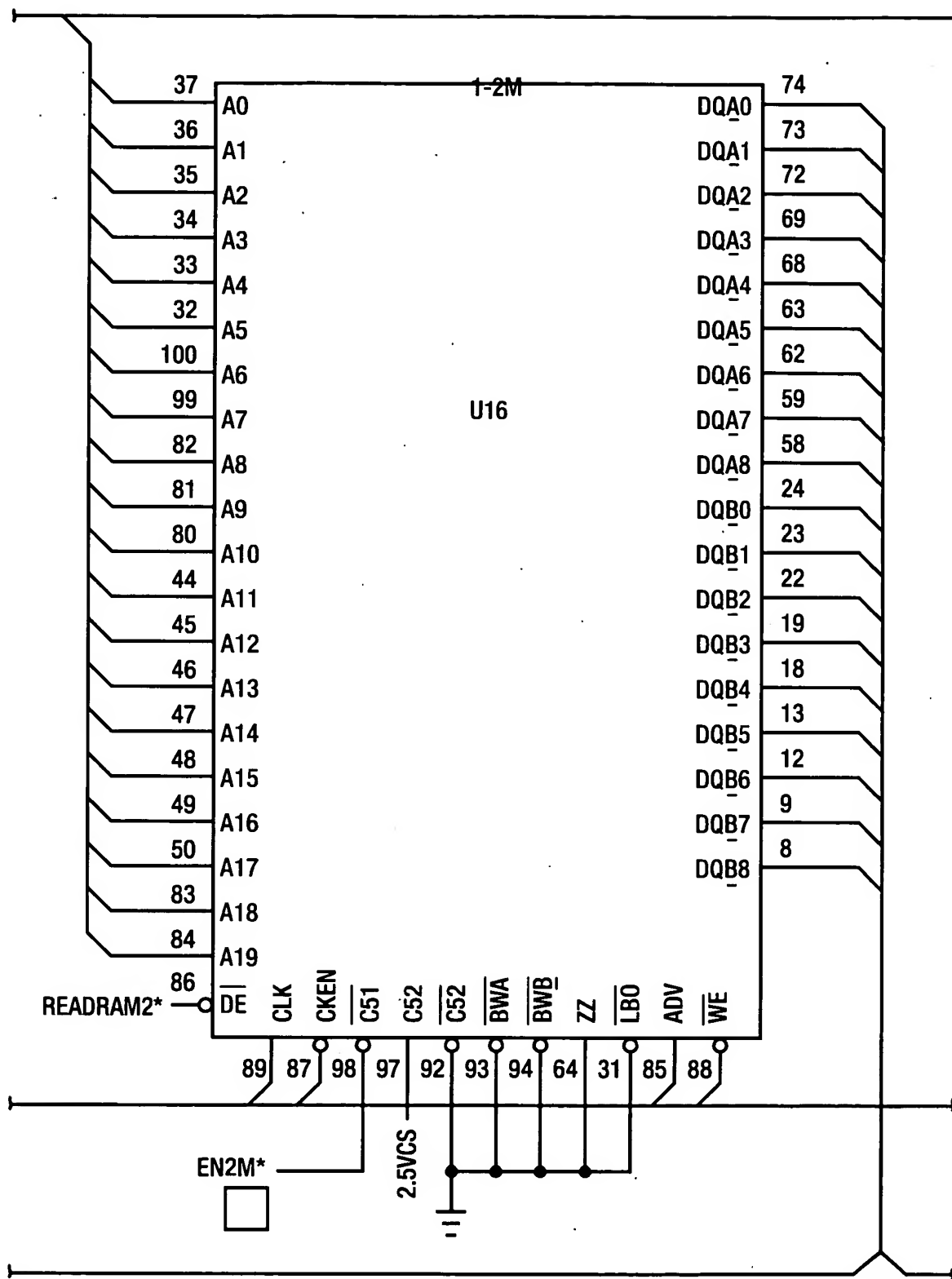
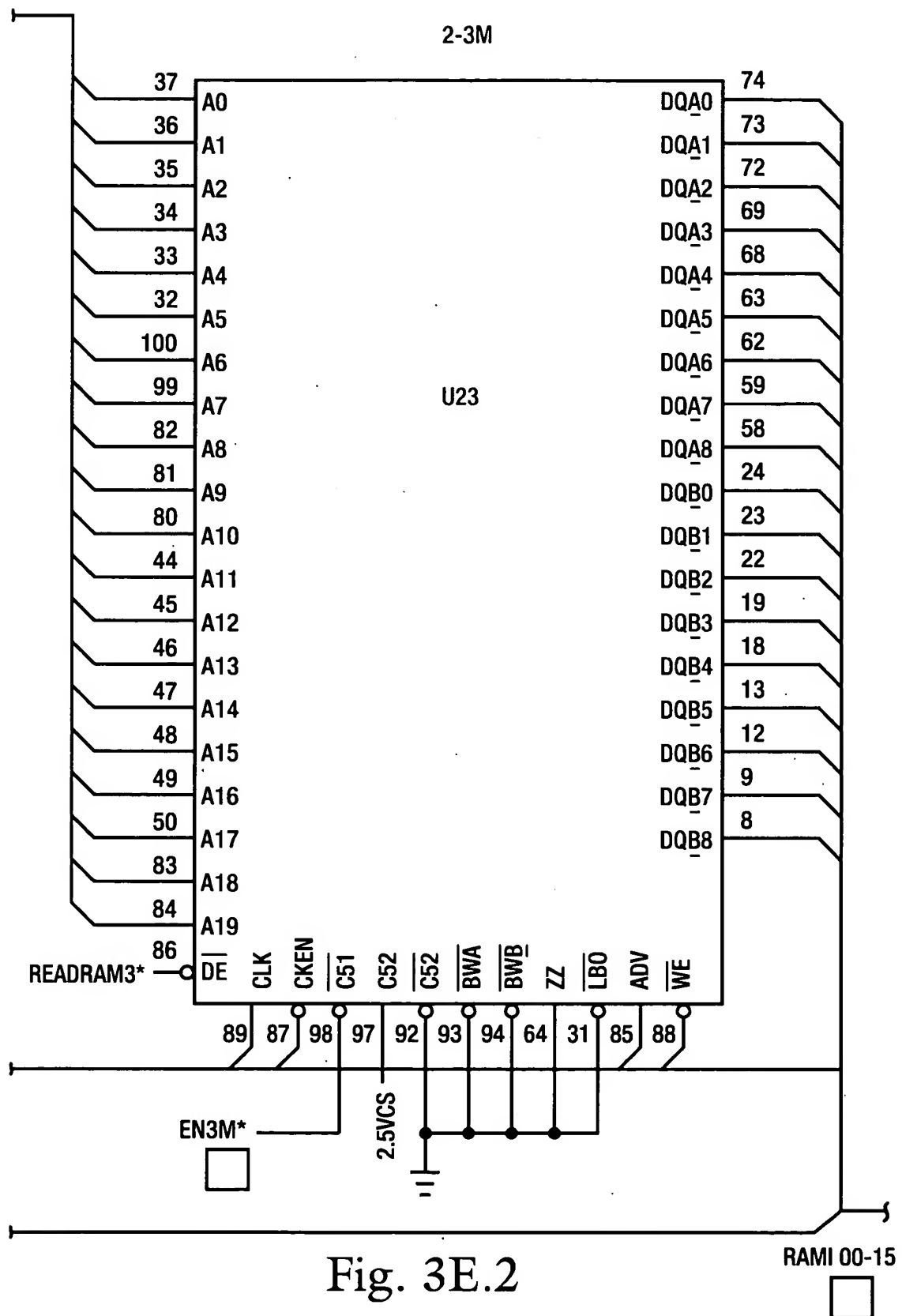


Fig. 3E.1



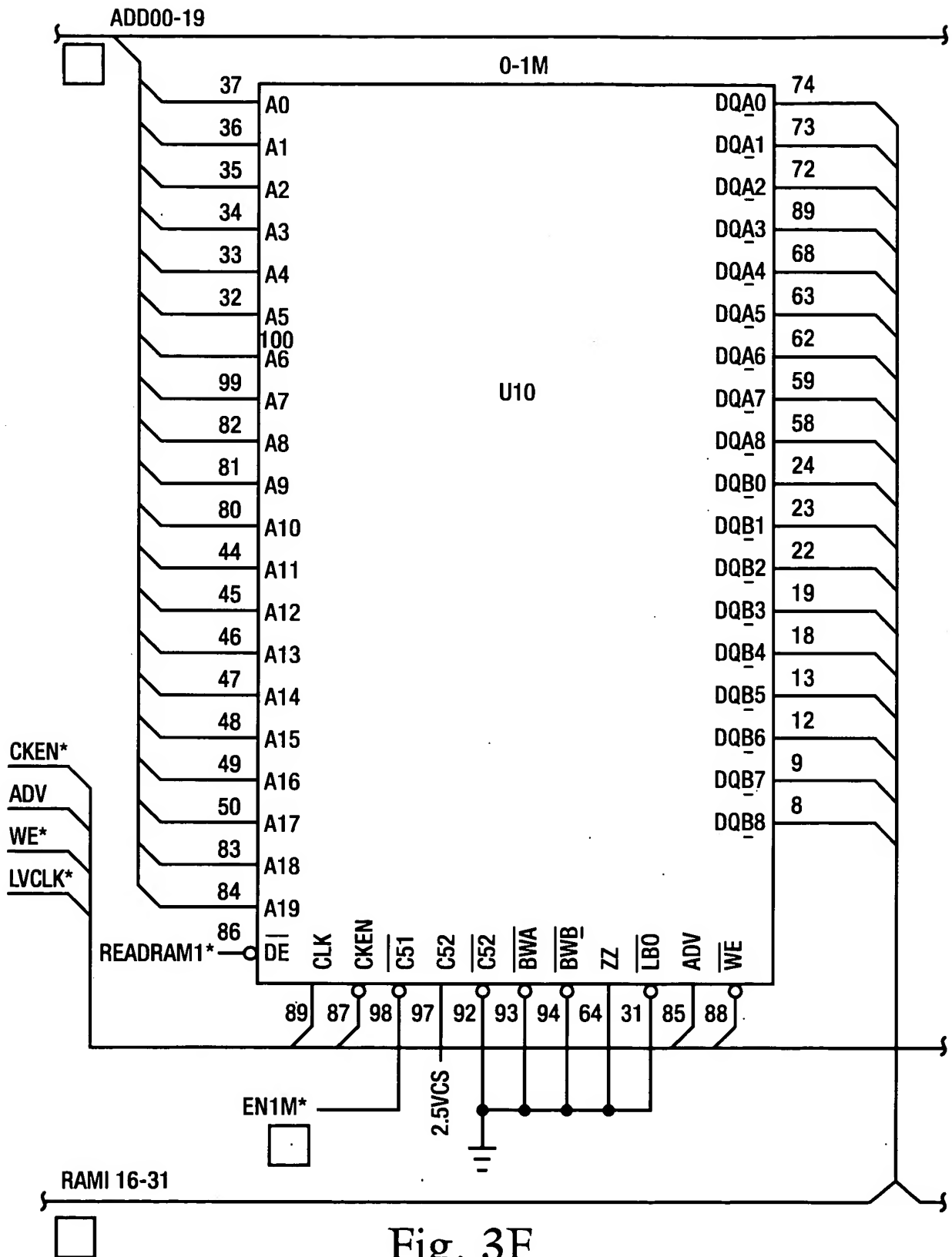


Fig. 3F

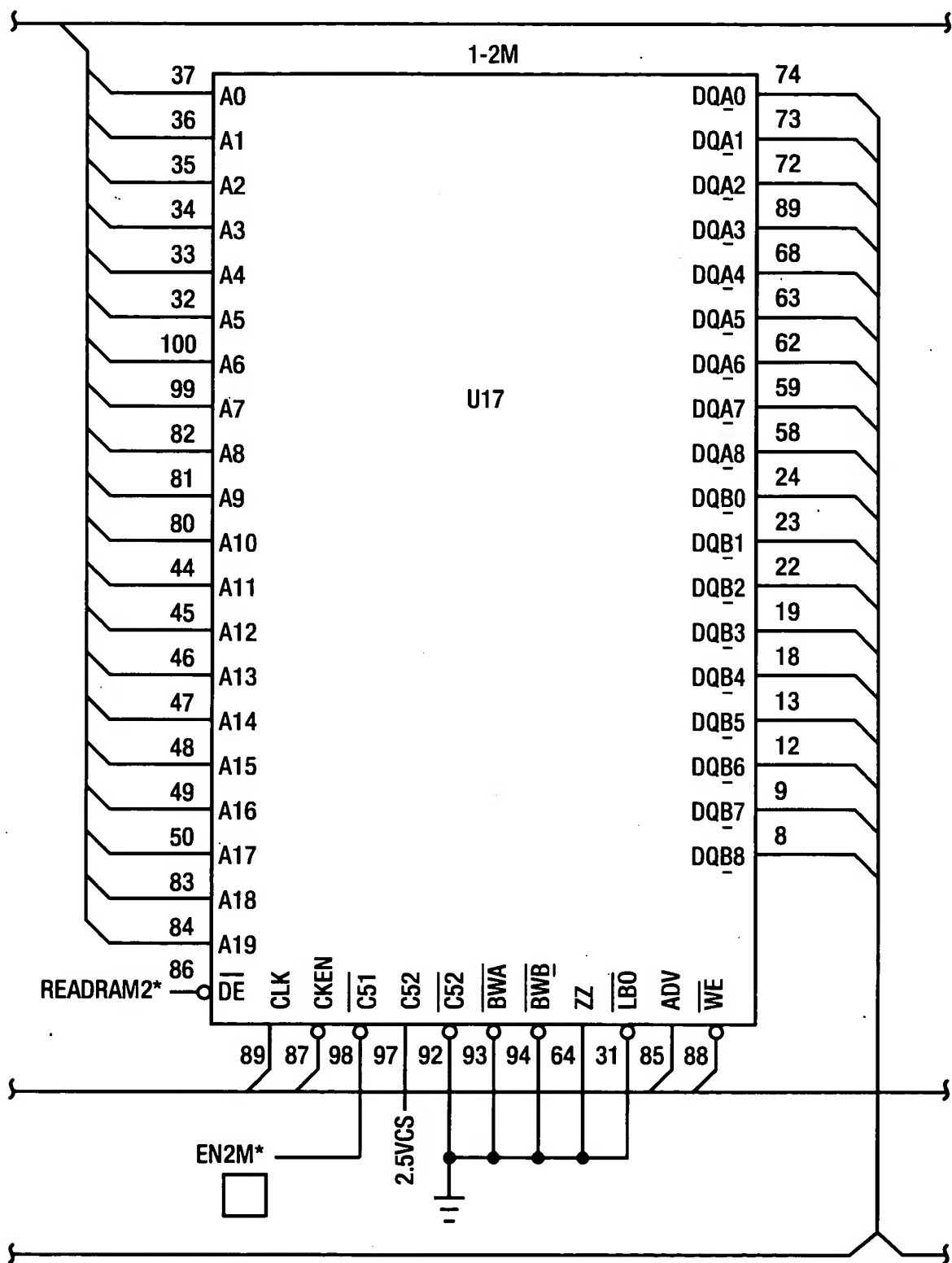


Fig. 3F.1

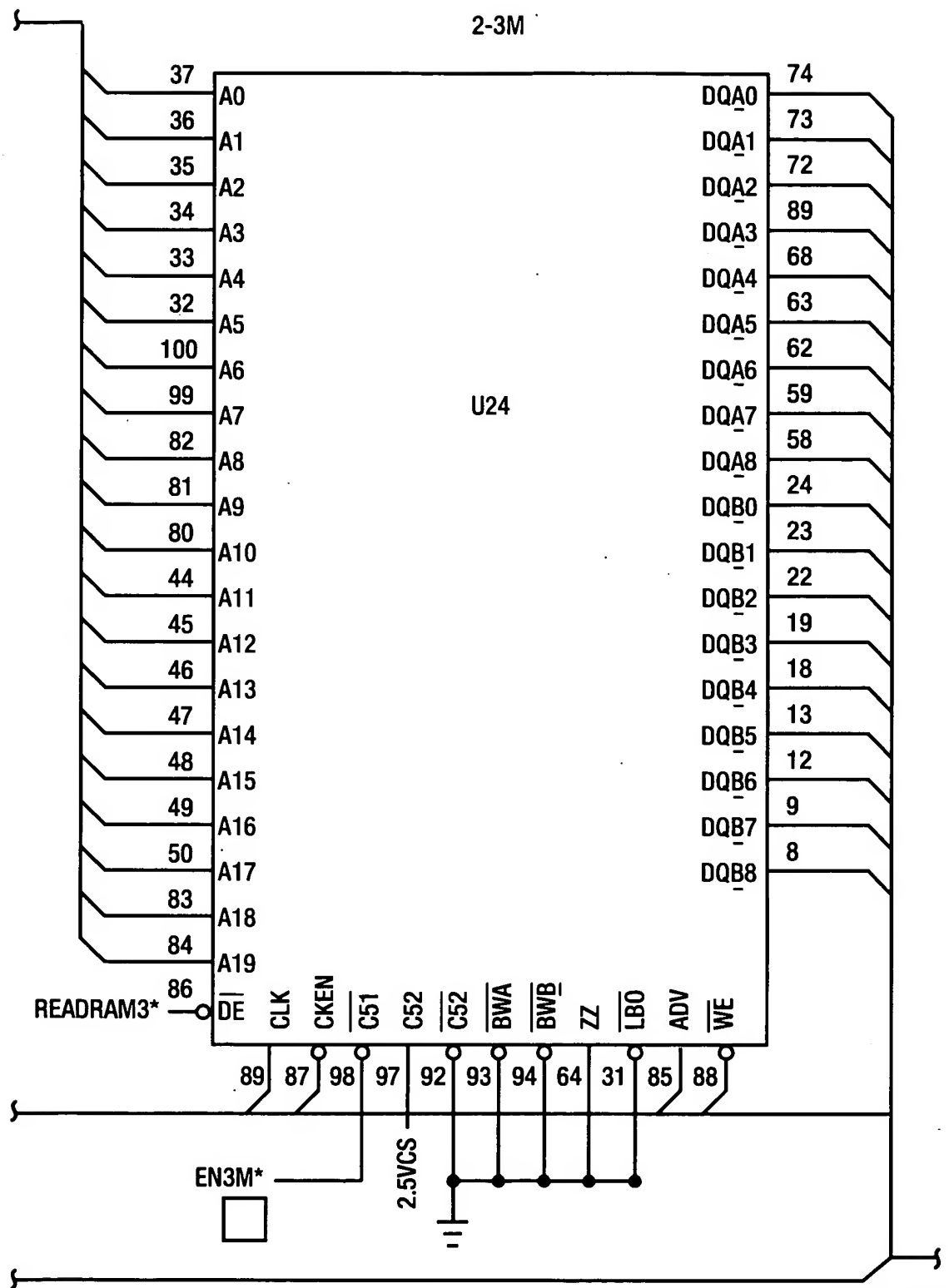


Fig. 3F.2

RAMI 16-31

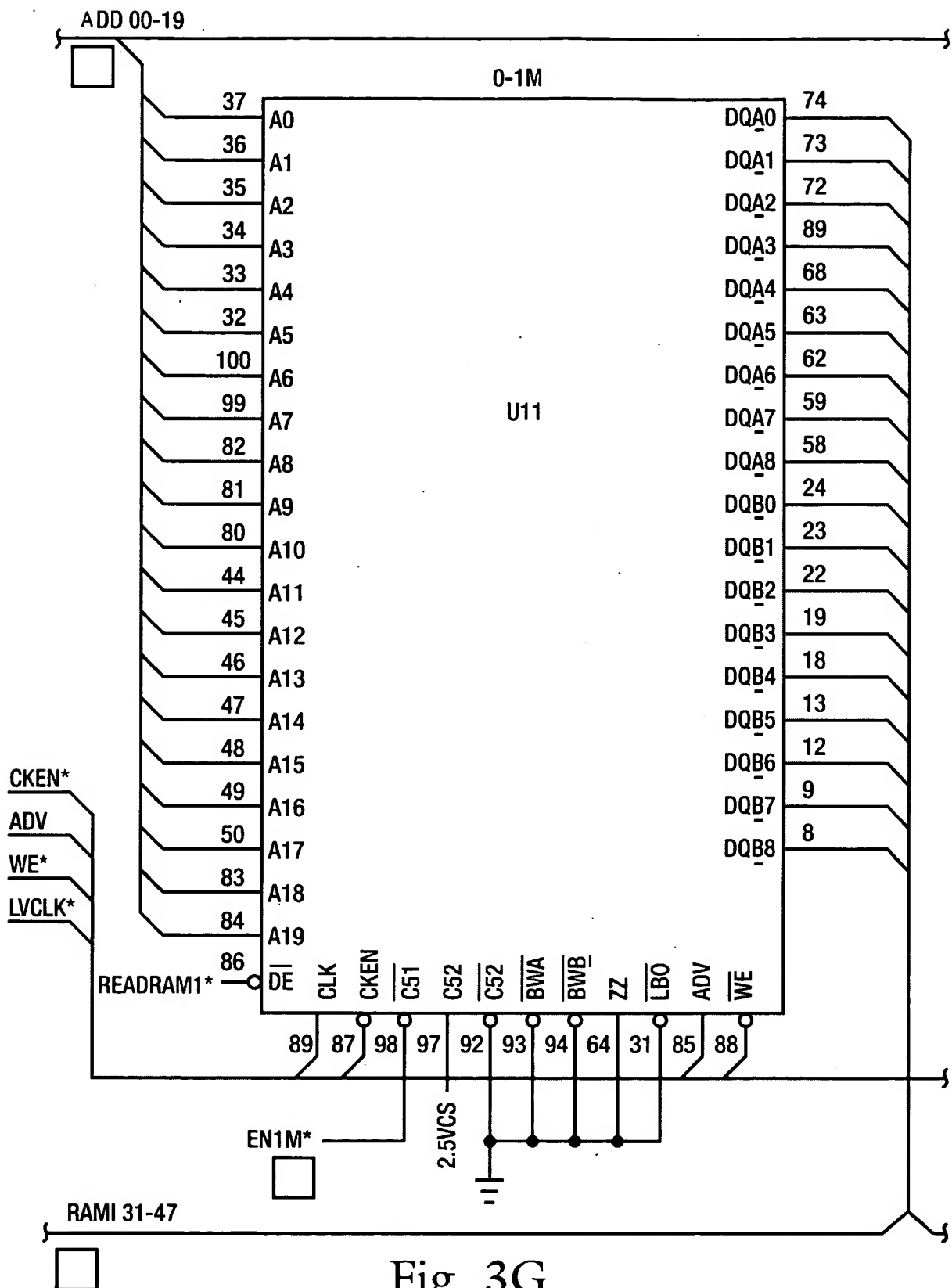


Fig. 3G

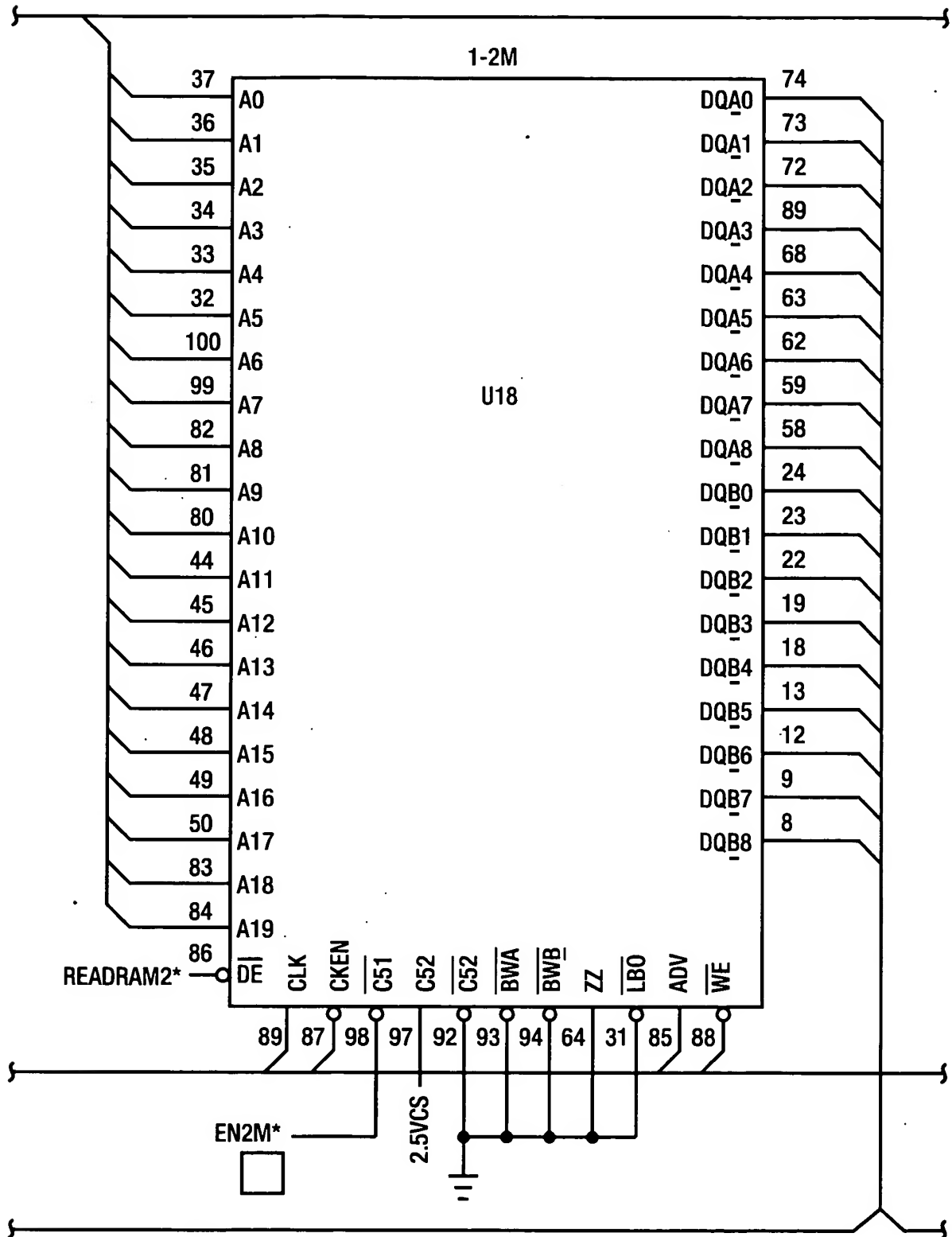


Fig. 3G.1



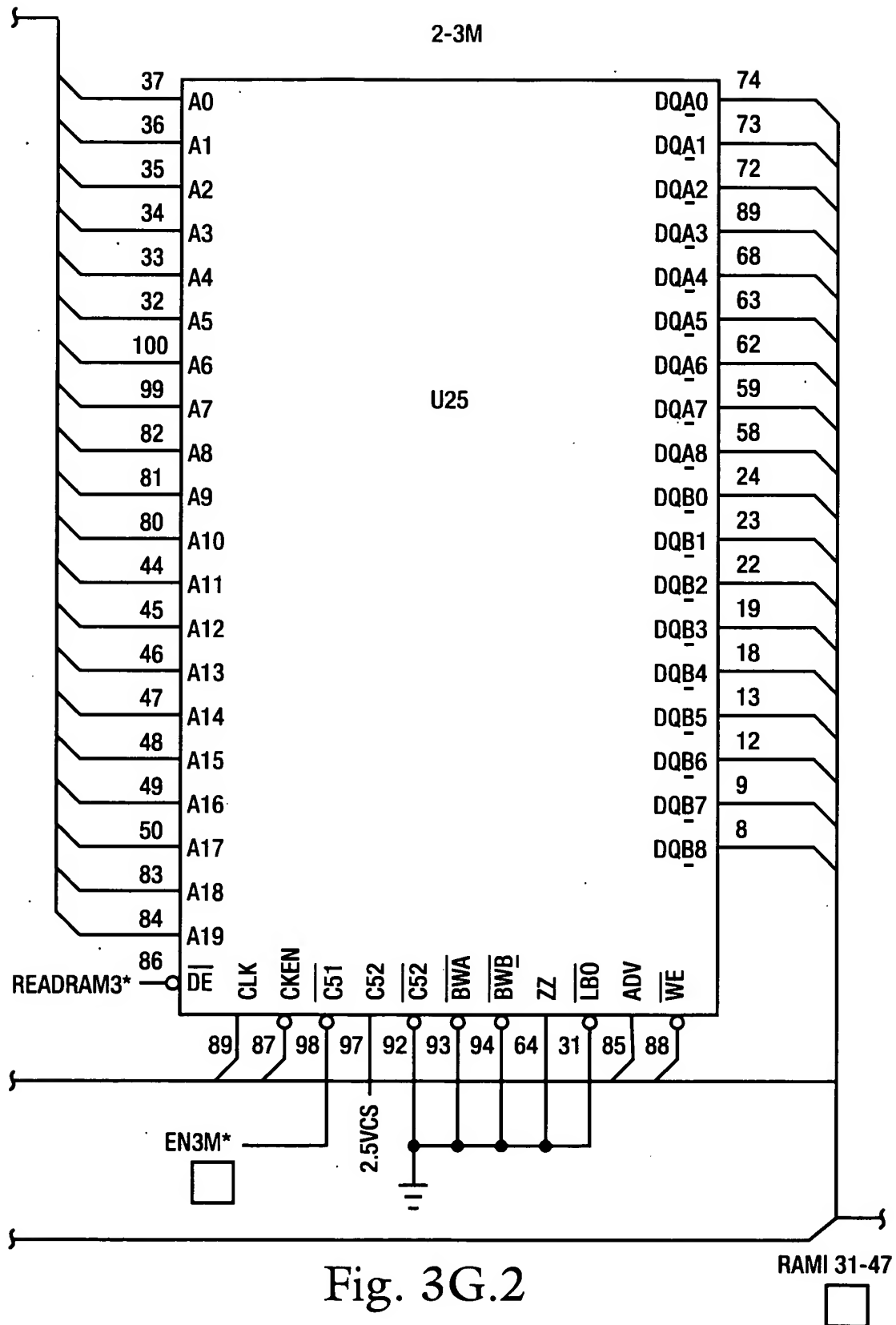


Fig. 3G.2

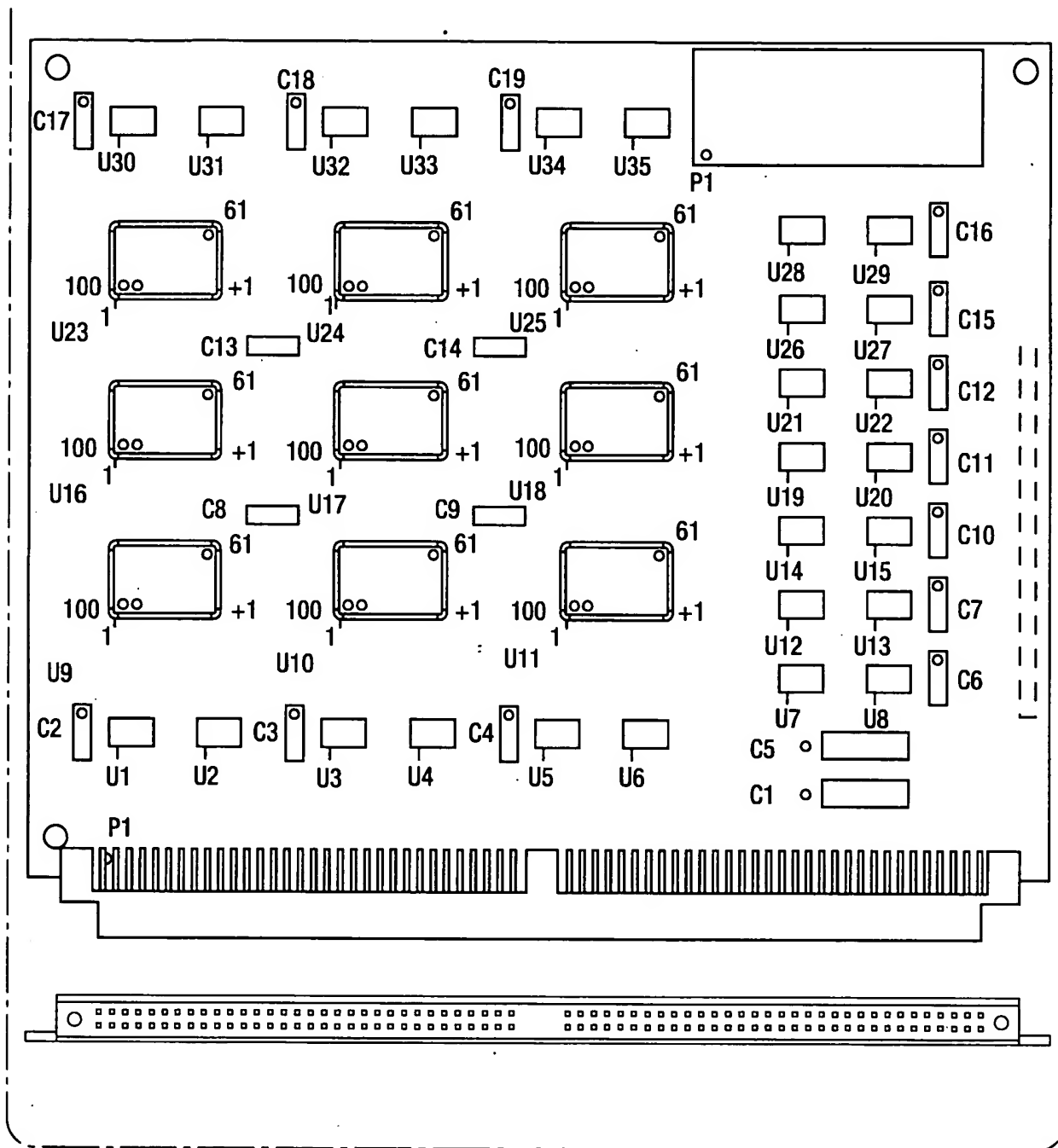


Fig. 4

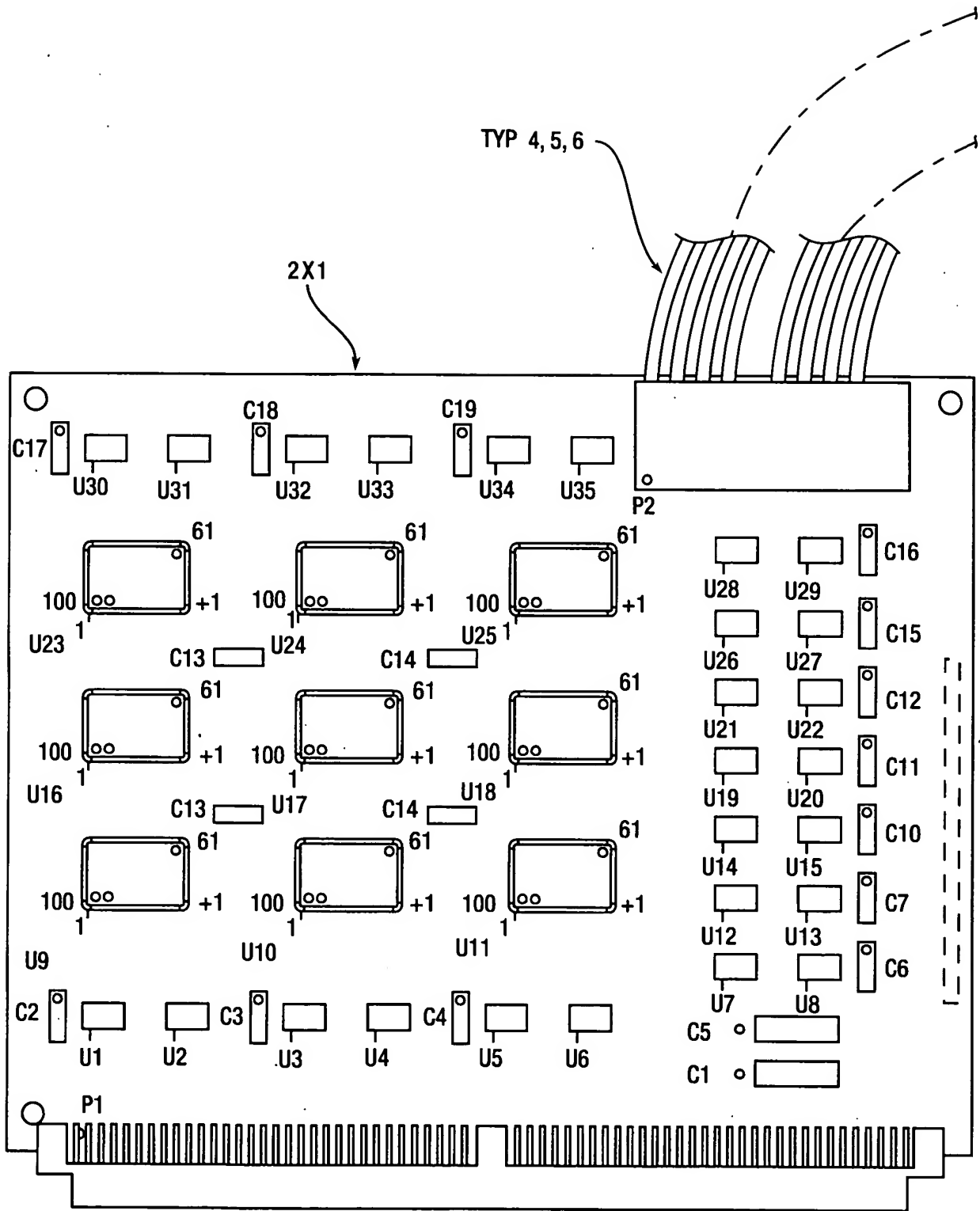


Fig. 5

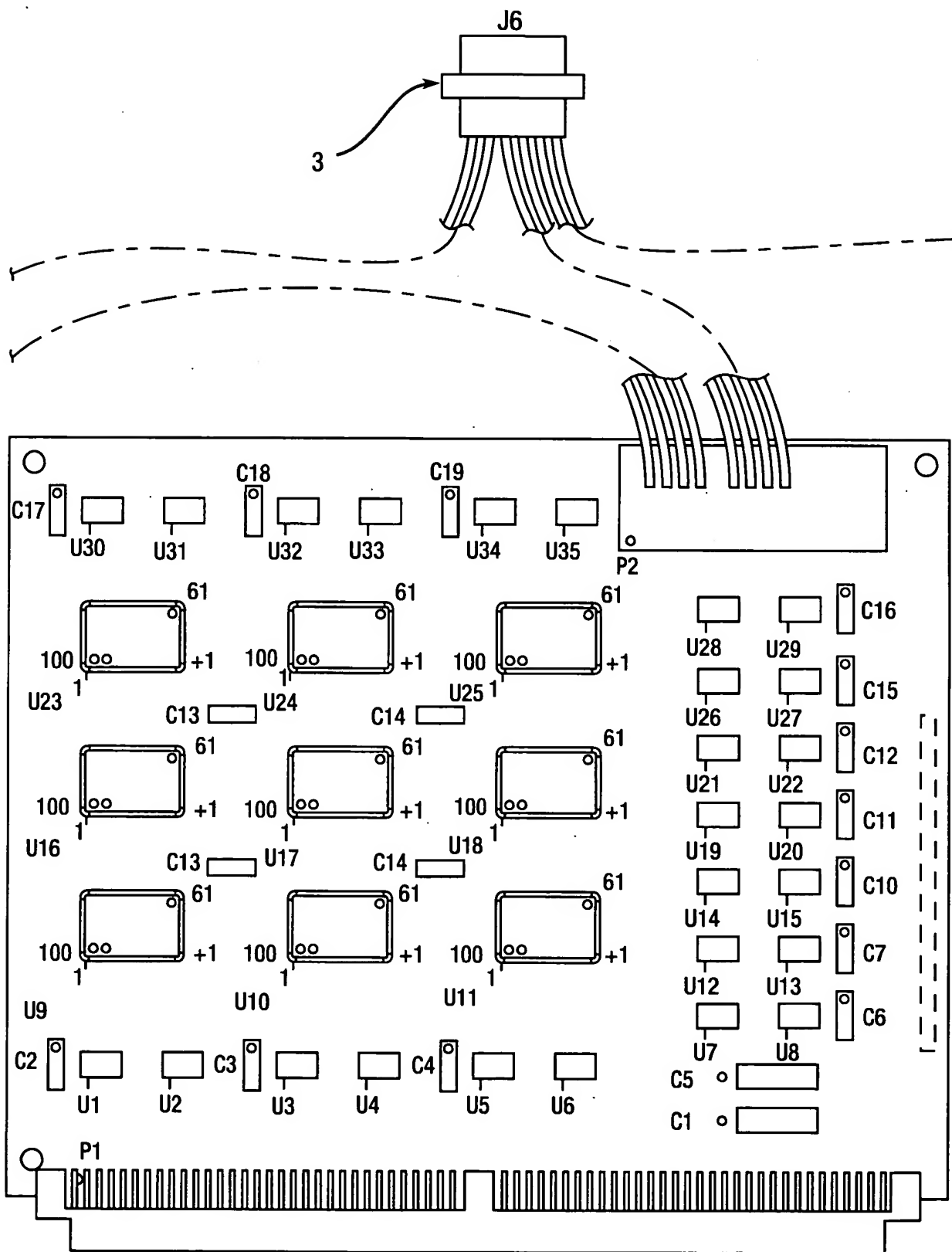


Fig. 5.1

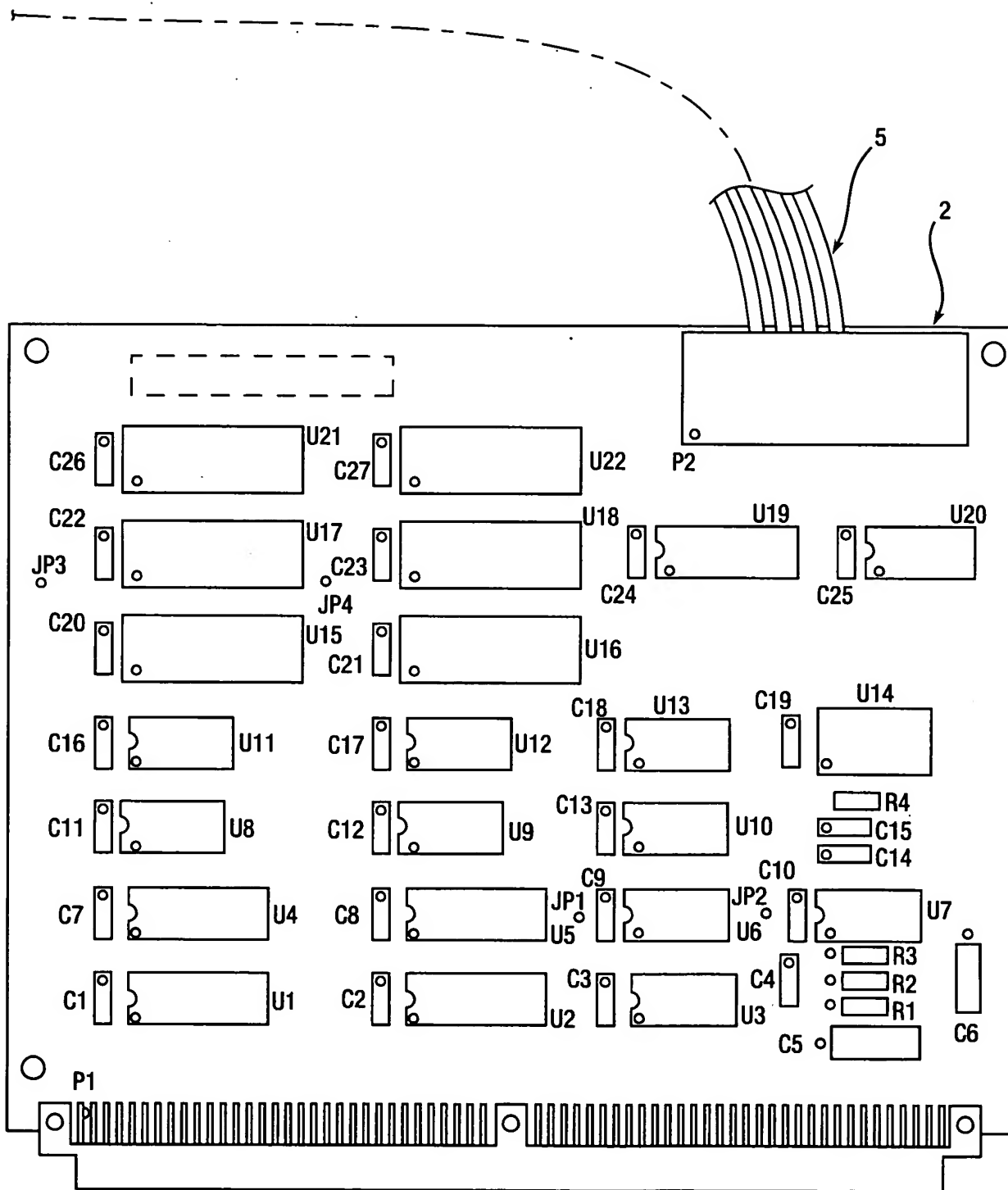
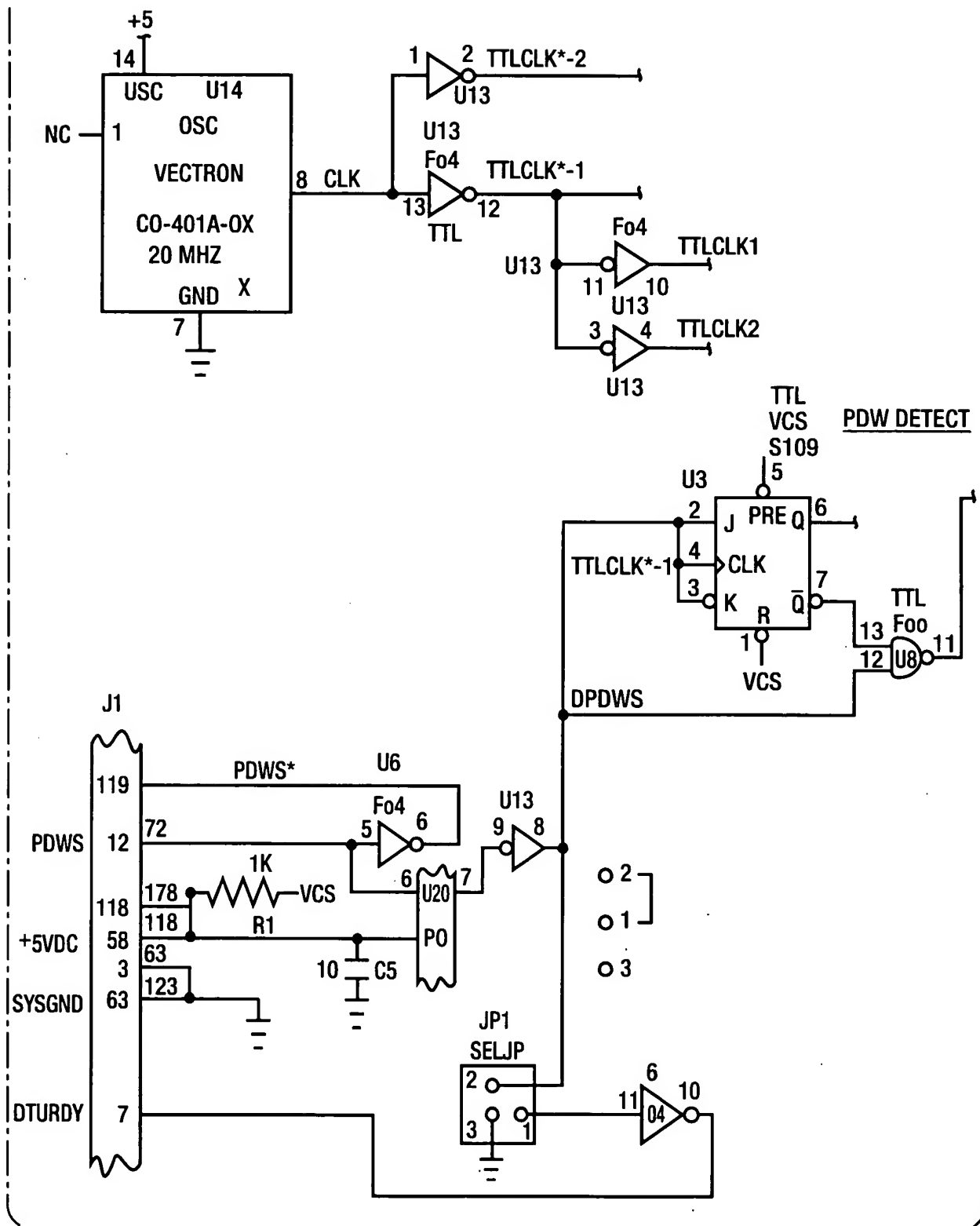


Fig. 5.2



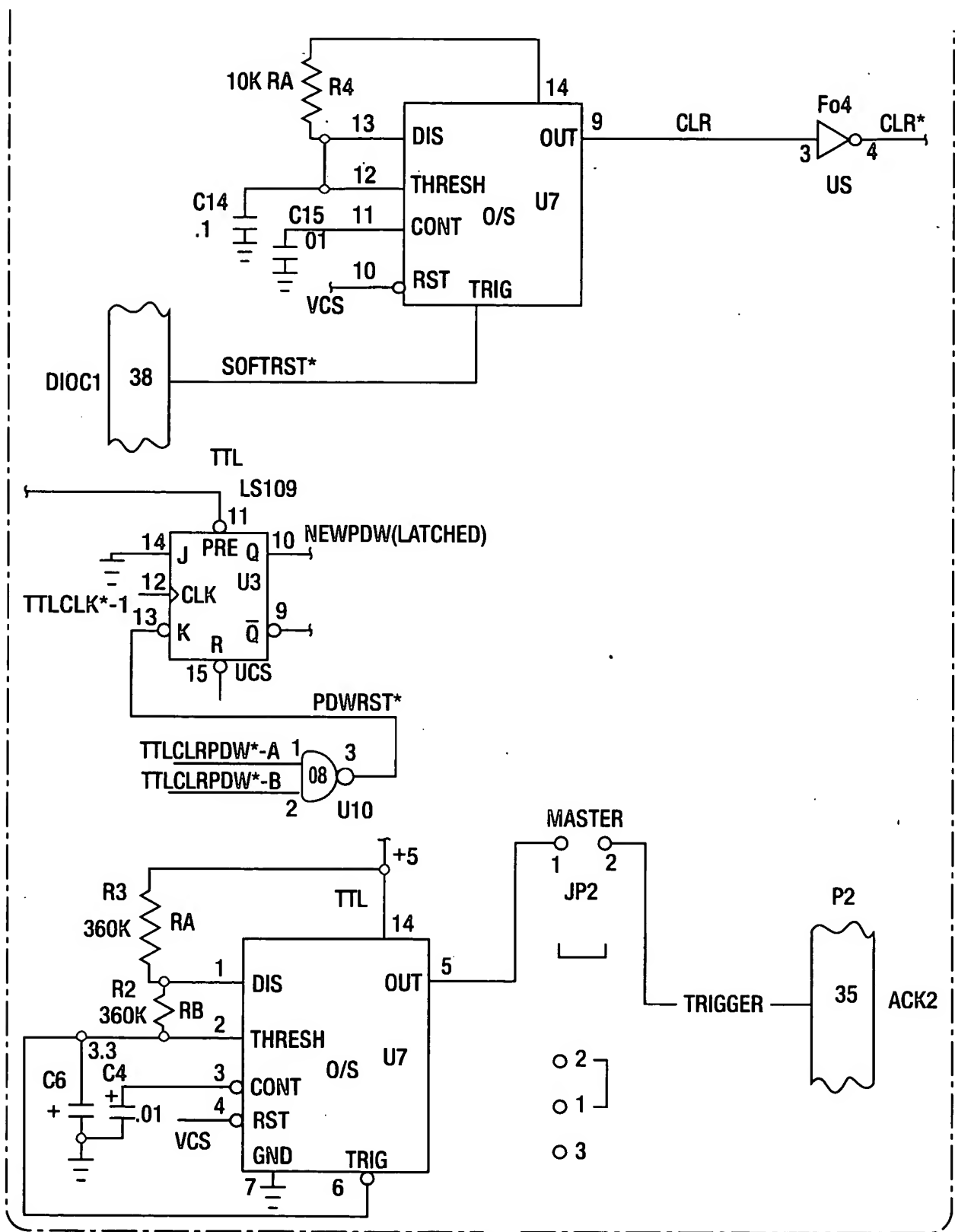


Fig. 6A.1

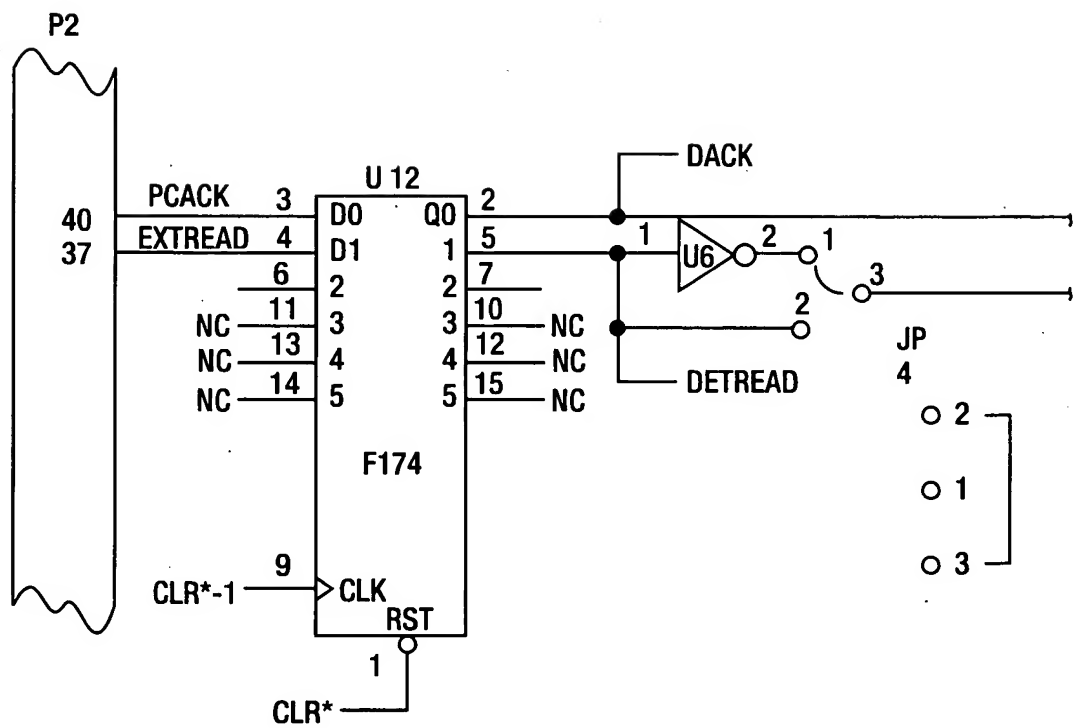


Fig. 6B



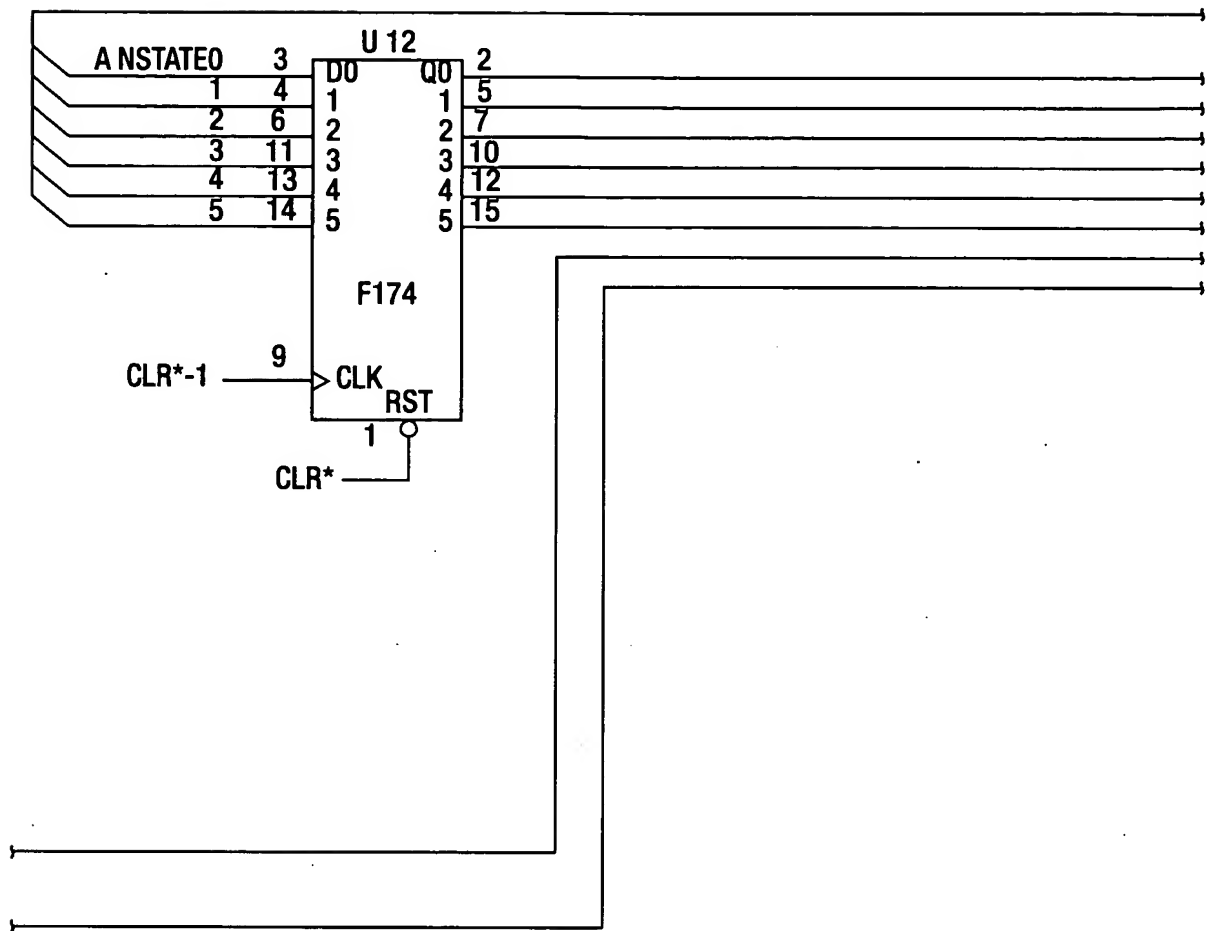


Fig. 6B.1

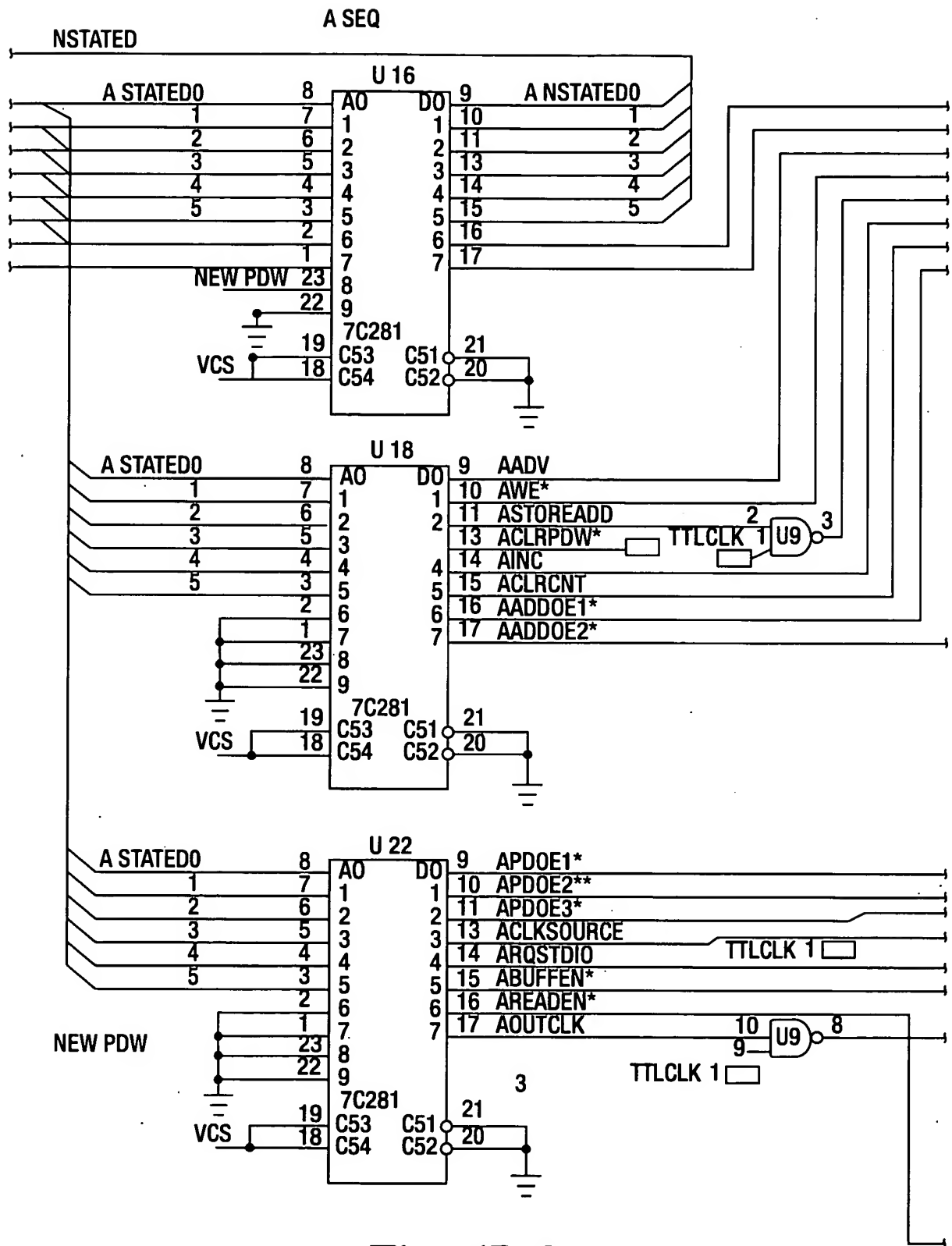


Fig. 6B.2

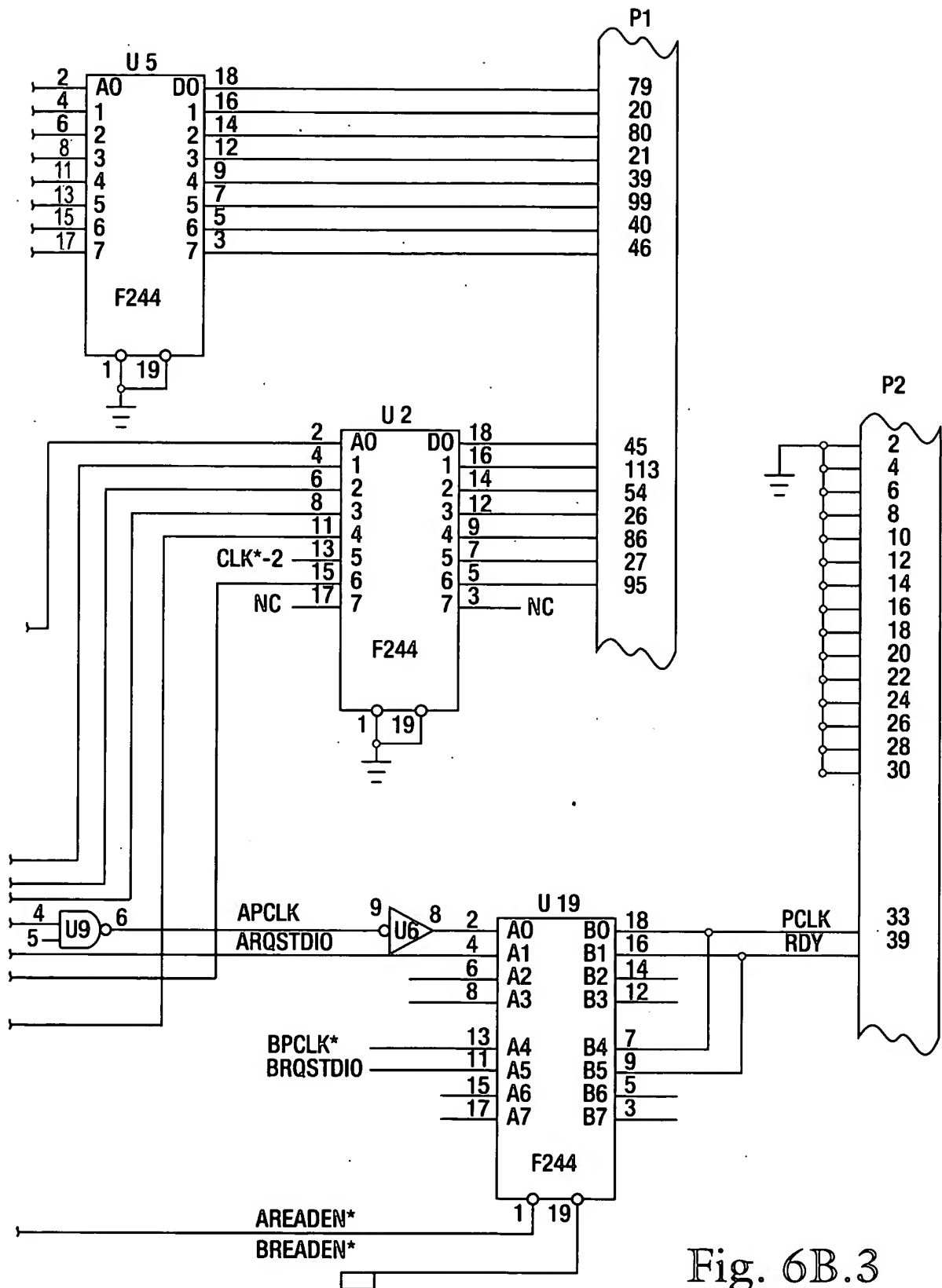


Fig. 6B.3

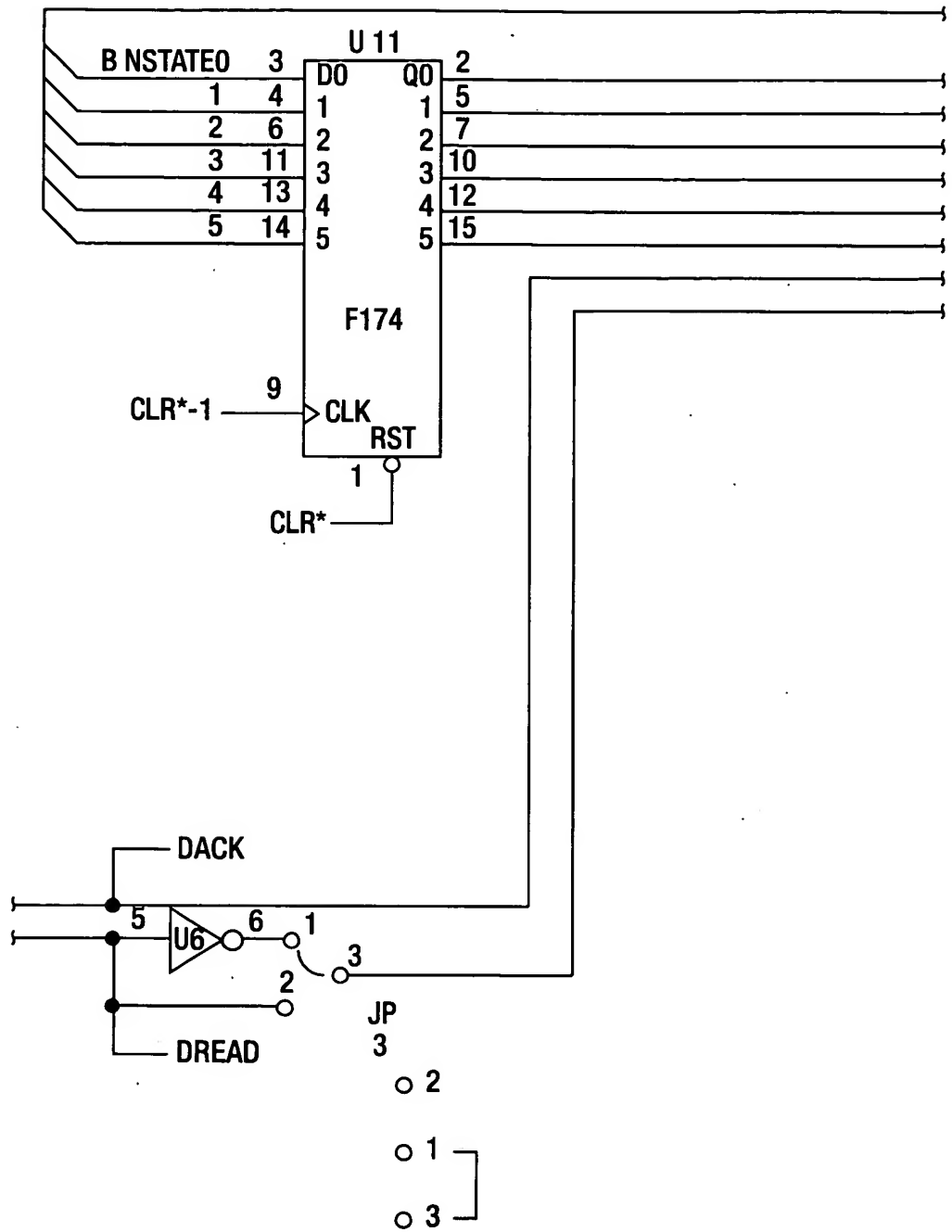


Fig. 6C

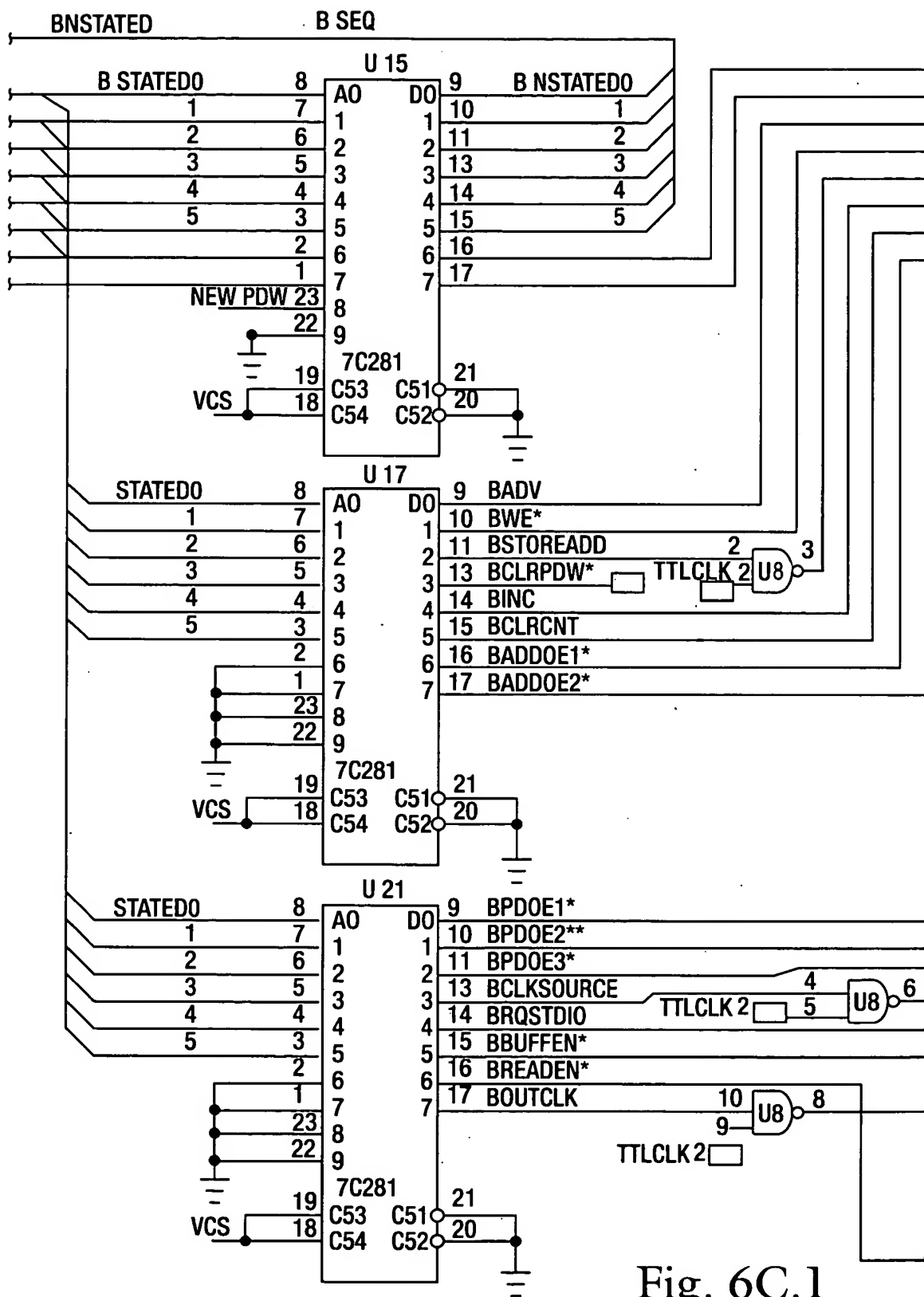


Fig. 6C.1

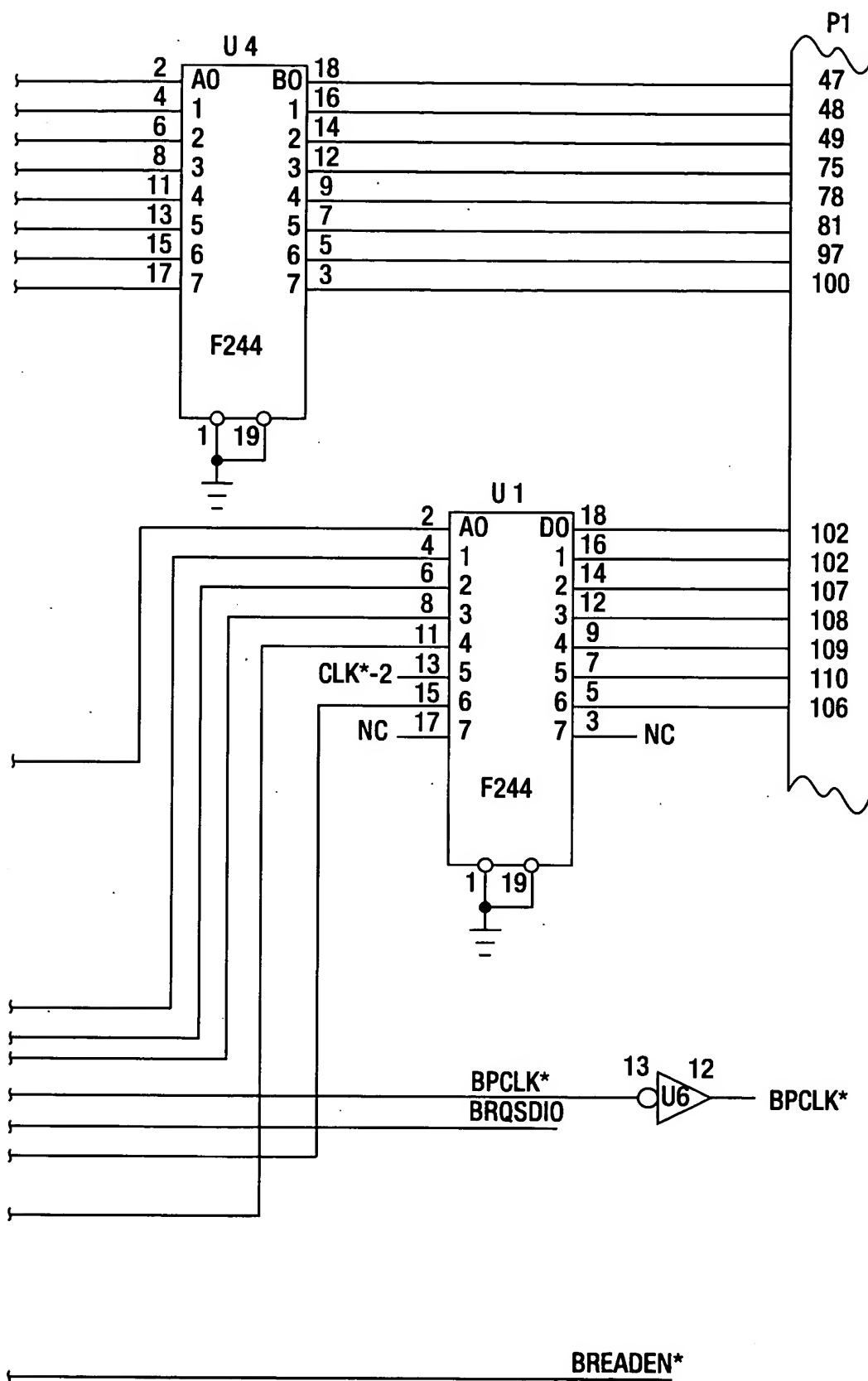


Fig. 6C.2

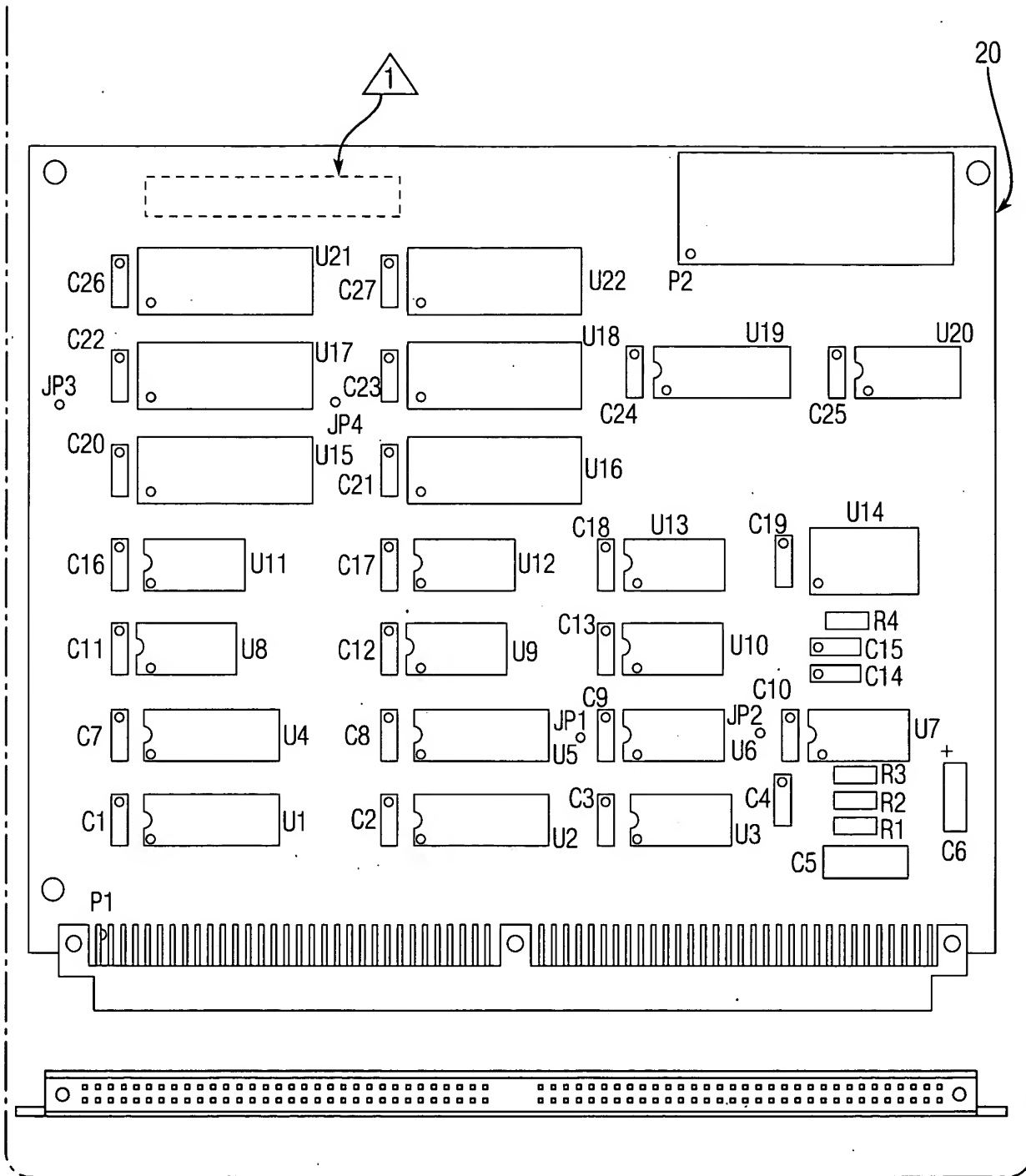


Fig. 7

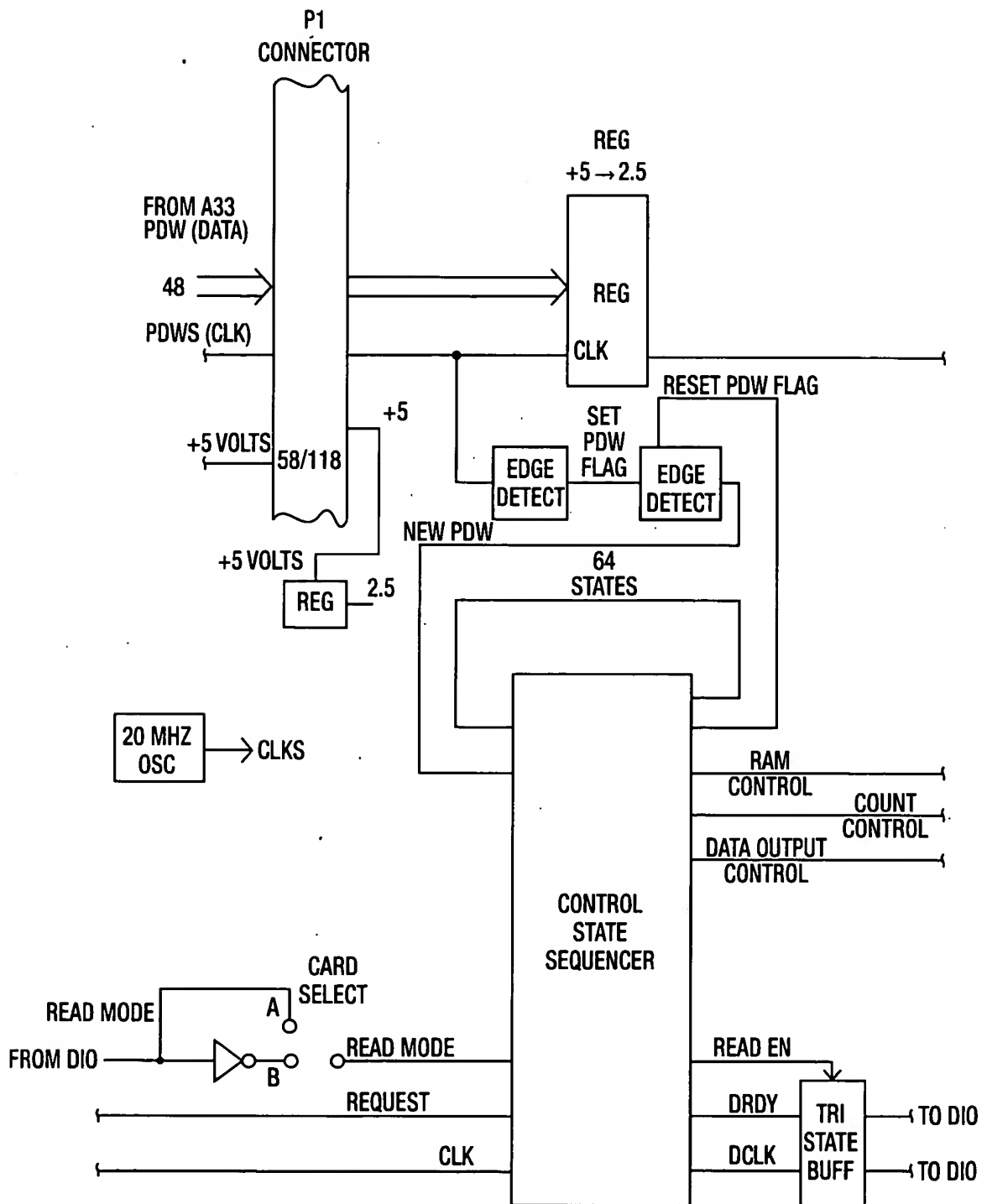


Fig. 8



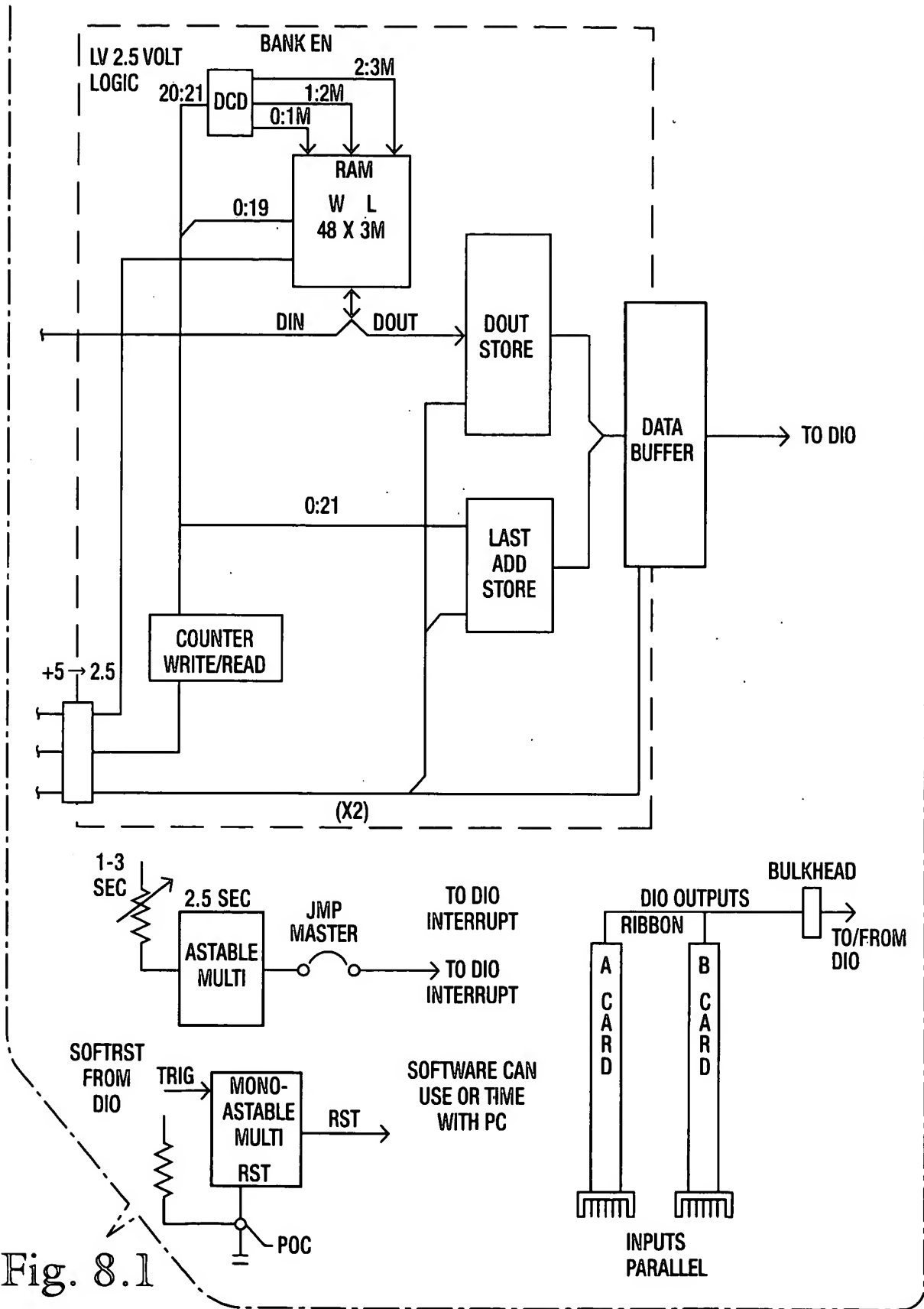


Fig. 8.1

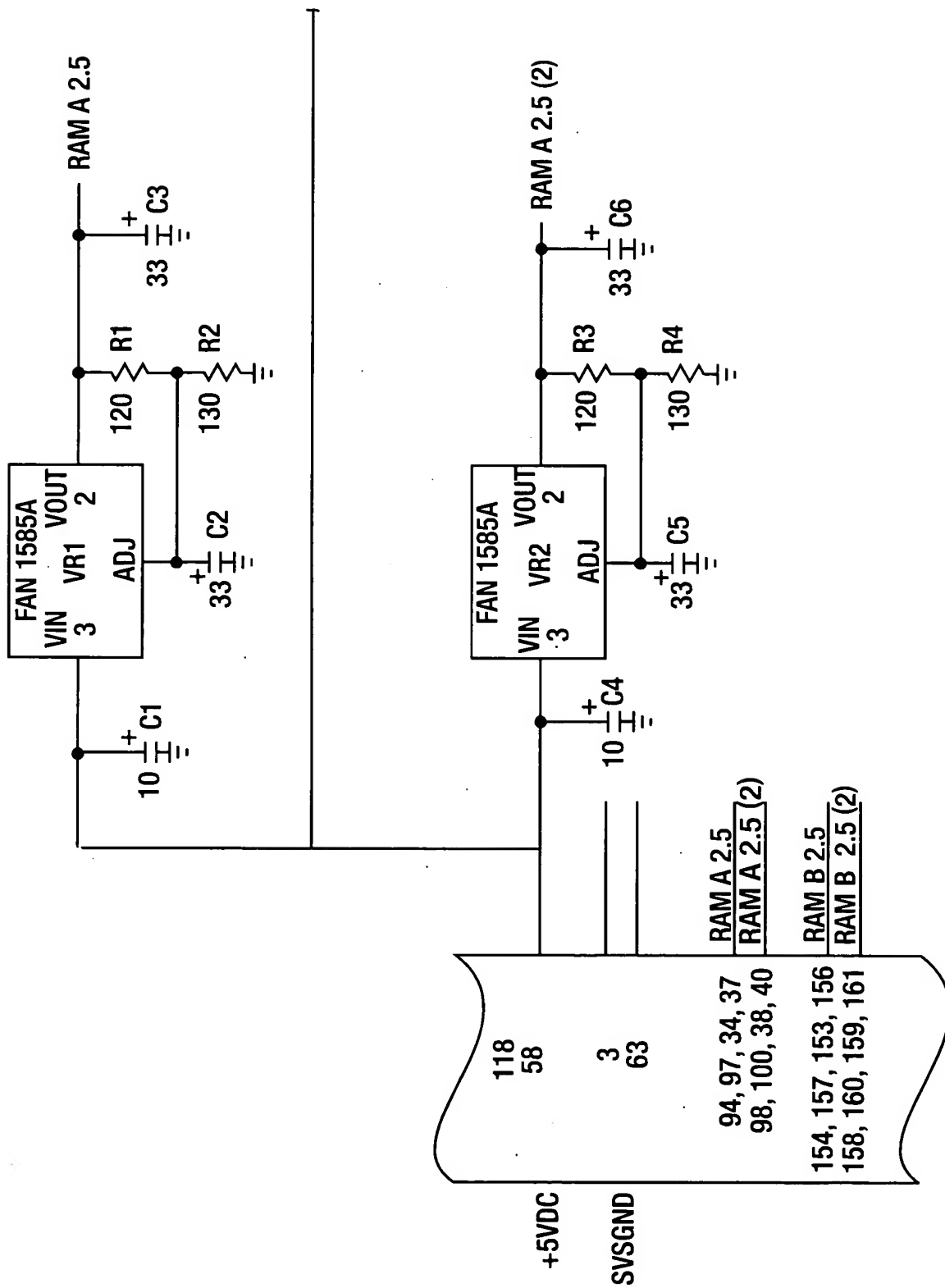


Fig. 9

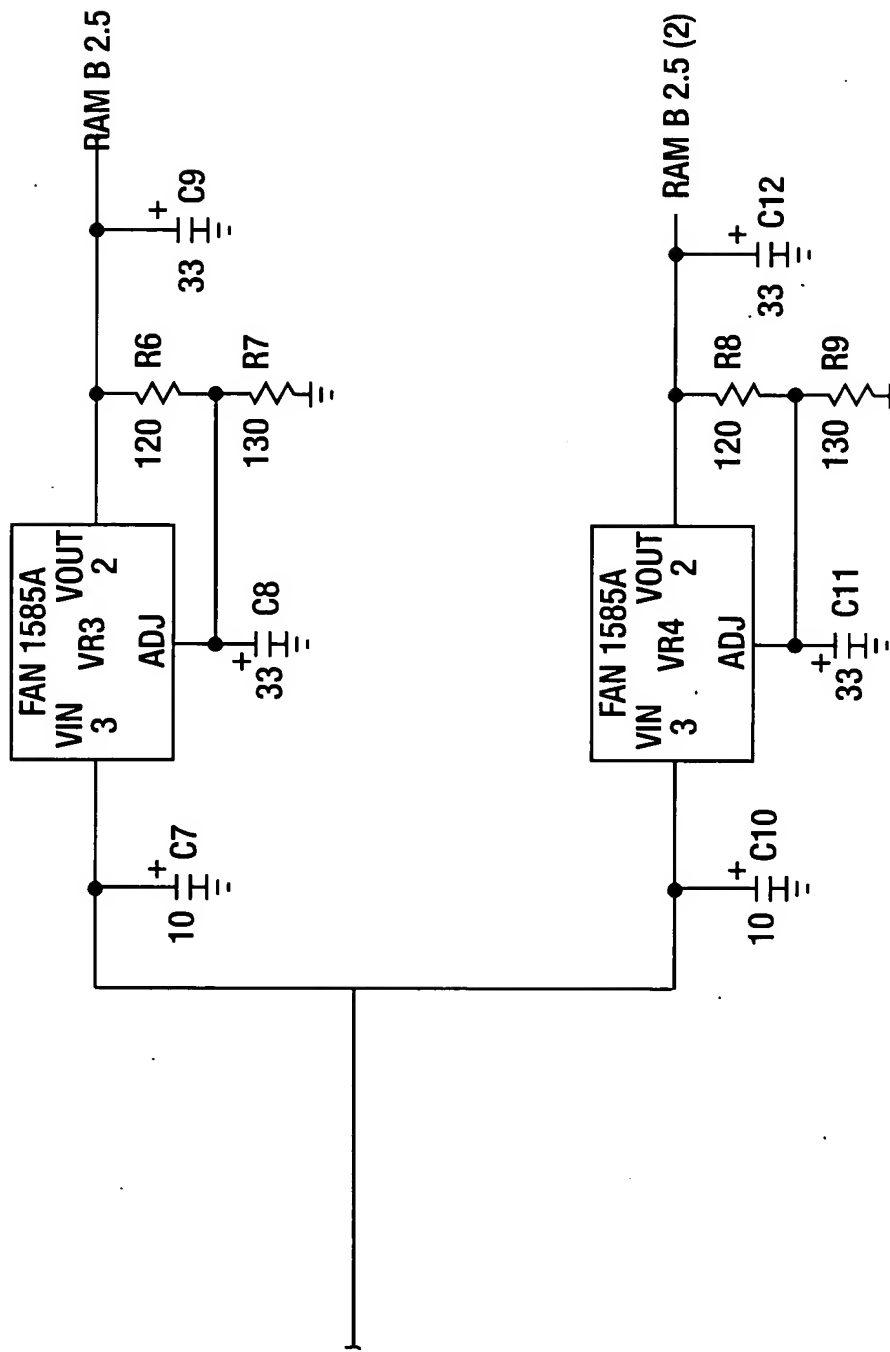


Fig. 9.1

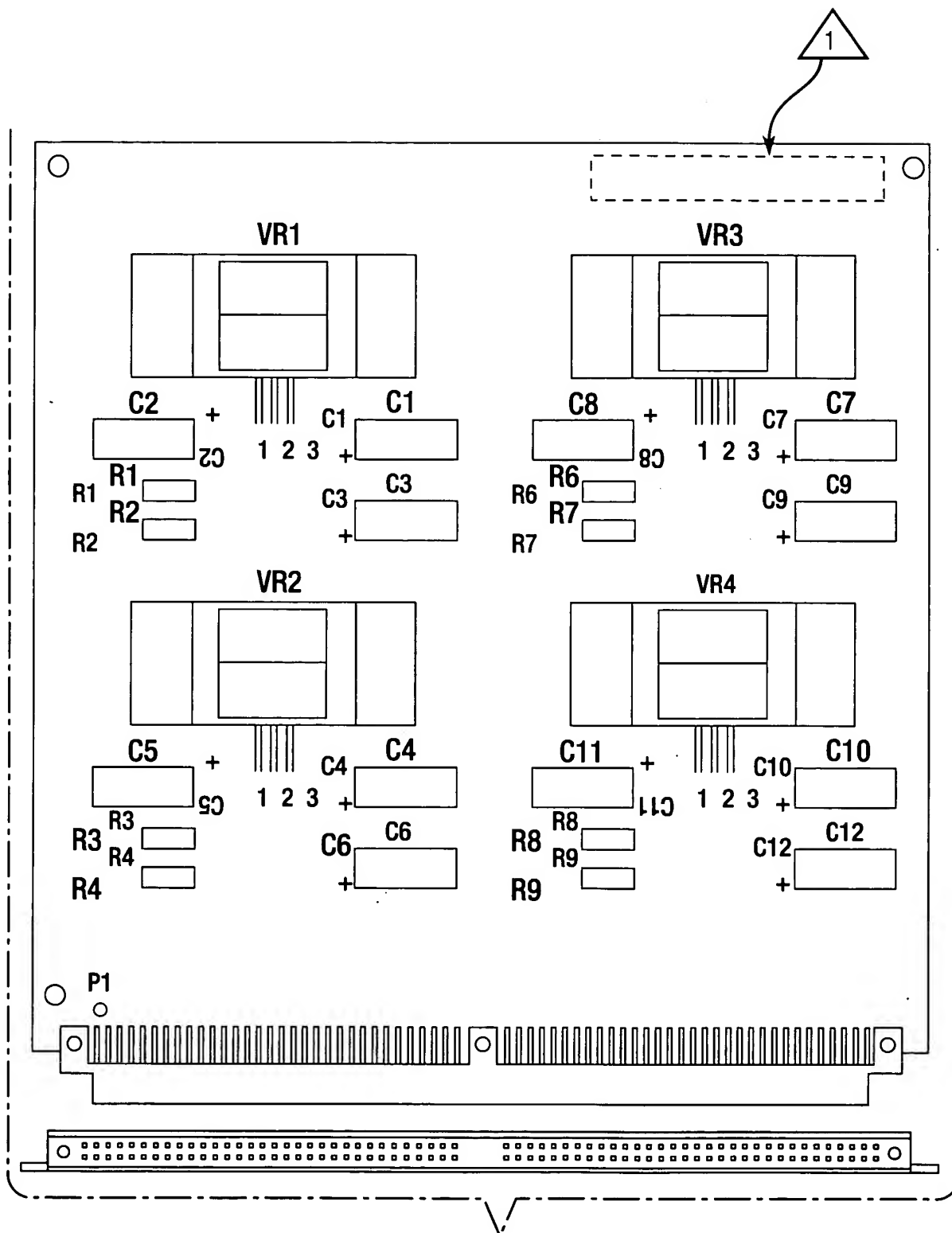


Fig. 10

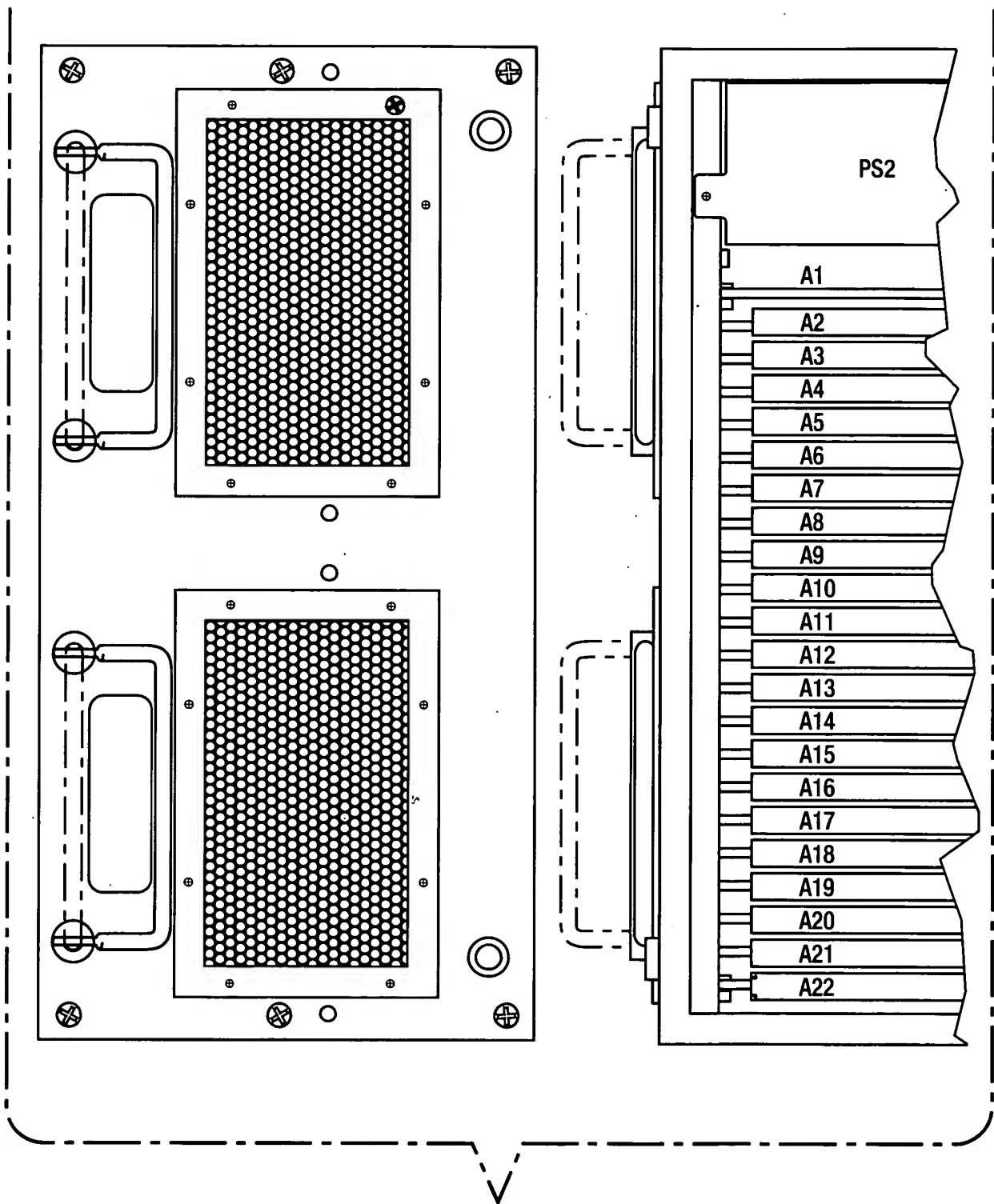


Fig. 11

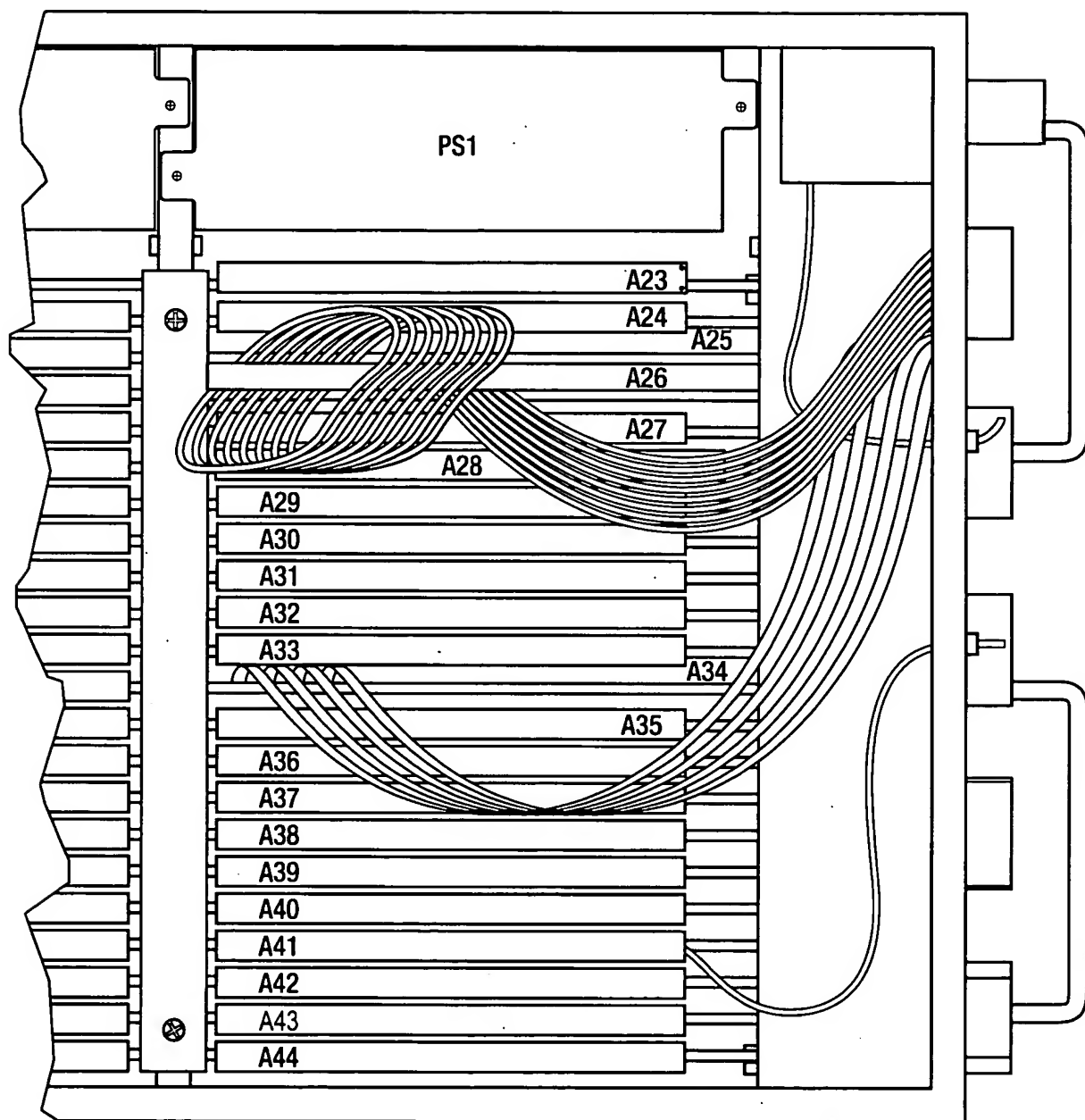


Fig. 11.1

